



ผลกระทบของอุณหภูมิที่มีผลต่อ เสถียรภาพ และ การไหล ของแอสฟัลต์

THE EFFECT OF TEMPERATURE ON STABILITY AND FLOW OF ASPHALT CONCRETE

OF ASPHALT CONCRETE

นายณรงค์ฤทธิ์	พันธ์ภูริ	รหัส 50360890
นายภัทร์โภค	อัญสุข	รหัส 50360583
นางสาวปริyanuch	ไนน์จันทร์	รหัส 50365789

ปริญญา ni พนธ์นี้เป็นส่วนหนึ่งของการศึกษาตามหลักสูตรปริญญาวิศวกรรมศาสตรบัณฑิต

สาขาวิชาชีวกรรมโยธา ภาควิชาชีวกรรมโยธา

คณะวิศวกรรมศาสตร์ มหาวิทยาลัยนเรศวร

ปีการศึกษา 2553

ห้องสมุดคณะวิศวกรรมศาสตร์

วันที่รับ..... 24.03.2554

เลขทะเบียน..... 15519263

เลขเรียกหนังสือ..... M/S

มหาวิทยาลัยนเรศวร วันที่ 22 กันยายน 2553



ใบรับรองปริญญานิพนธ์

ชื่อหัวข้อโครงการ	ผลกระบวนการอุปนภูมิที่มีผลต่อสังคมชุมชน และการให้ผลของแอสเพล็ค กอนกรีต		
ผู้ดำเนินโครงการ	นายสมรงค์ฤทธิ์ พันธ์สุรัส	รหัส 50360890	
	นายกัทร์โชค อุบลสุข	รหัส 50361583	
	นางสาวปริยานุช ใหม่จันทร์	รหัส 50365789	
ที่ปรึกษาโครงการ	อาจารย์บุญญพลด มีไชโย		
สาขาวิชา	วิศวกรรมโยธา		
ภาควิชา	วิศวกรรมโยธา คณะวิศวกรรมศาสตร์ มหาวิทยาลัยนเรศวร		
ปีการศึกษา	2553		

คณะวิศวกรรมศาสตร์ มหาวิทยาลัยนเรศวร อนุมัติให้ปริญญานิพนธ์ฉบับนี้เป็นส่วนหนึ่ง
ของการศึกษาตามหลักสูตรวิศวกรรมศาสตรบัณฑิต สาขาวิศวกรรมโยธา

ที่ปรึกษาโครงการ
(อาจารย์บุญญพลด มีไชโย)

กรรมการ
(อาจารย์กัศพงศ์ หอมเนียม)

กรรมการ
(ผู้ช่วยศาสตราจารย์ดร.สสีกร เหลืองวิชชะเวริญ)

ชื่อหัวข้อโครงการ	ผลกระบวนการอุณหภูมิที่มีผลต่อเสถียรภาพ และการไหลของแอสฟัลต์คอนกรีต		
ผู้ดำเนินโครงการ	นายประคุณธี นายภัทรโชค [*] นางสาวปริยานุช	พันธ์ภู อัญชลี ใหม่จันทร์	รหัส 50360890 รหัส 50361583 รหัส 50365789
ที่ปรึกษาโครงการ	อาจารย์บุญพง นิไชโย		
สาขาวิชา	วิศวกรรมโยธา		
ภาควิชา	วิศวกรรมโยธา คณะวิศวกรรมศาสตร์ มหาวิทยาลัยนเรศวร		
ปีการศึกษา	2553		

บทคัดย่อ

โครงการนี้มีวัตถุประสงค์เพื่อศึกษาผลกระบวนการอุณหภูมิที่มีผลต่อเสถียรภาพ และการไหลของแอสฟัลต์คอนกรีต จึงได้ออกแบบการทดสอบหาคุณสมบัติ ให้มีการควบคุมอุณหภูมิที่ 30, 40, 50 และ 60 องศา ก่อนนำก้อนตัวอย่างที่ได้มาทดสอบคุณสมบัติ ด้านเสถียรภาพ(Stability) และ การไหล(Flow) โดยข้างต้นจาก มาตรฐานของกรมทางหลวง (ทก.-ท. 604/2517) ซึ่งการออกแบบ แอสฟัลต์คอนกรีตในที่นี้ใช้วัสดุมวลรวมจาก โรงไม่หินศีลามูติ อำนวยห้องแสงขัน จังหวัดอุตรดิตถ์ ผลการทดสอบ อุณหภูมิมีผลต่อ ค่าเสถียรภาพ และค่าการไหลของแอสฟัลต์คอนกรีต พบว่า เมื่ออุณหภูมิสูงขึ้น ค่าเสถียรภาพจะลดลง คือ ที่อุณหภูมิ 30, 40, 50 และ 60 องศา ค่าเสถียรภาพนี้ค่าเป็น 2,695, 2,540, 2,410 และ 2,343 Lbs. ตามลำดับ ค่าเสถียรภาพที่เปลี่ยนไปของแต่ละช่วงอุณหภูมิก็คือ เป็น 5.75%, 5.12% และ 2.78% ของการเปลี่ยนแปลงของค่าเสถียรภาพทั้งหมด และความสัมพันธ์ ระหว่างอุณหภูมิกับค่าความสามารถในการไหล (Flow) ที่อุณหภูมิ 30, 40, 50 และ 60 องศา ค่าการไหลมีค่าเป็น 9, 10, 11 และ 13 (1/100" Flow) ตามลำดับ แสดงว่าเมื่ออุณหภูมิสูงขึ้น ค่าความสามารถในการไหลก็จะเพิ่มขึ้น

จากการทดสอบ ผลกระบวนการอุณหภูมิที่มีผลต่อเสถียรภาพ และการไหลของแอสฟัลต์คอนกรีตดังกล่าว สามารถสรุปได้ว่า เนื่องจากอุณหภูมิที่สูงขึ้นทำให้แอสฟัลต์ที่เคลือบมวลรวม เหลวขึ้น ความสามารถในการขีดเค็มกันของอนุภาคของมวลรวมลดลง เมื่อได้รับน้ำหนักบรรทุก แอสฟัลต์คอนกรีตจึงเกิดการลื่นไถลได้ง่าย เนื่องจากมีความสามารถในการไหลสูง ส่งผลให้ ความสามารถในการรับน้ำหนักบรรทุกของผิวทางลดลง

Project title	The effect of temperature on stability and the flow of asphalt concrete.	
Name	Mr. Narongrit Panpoo	Code 50360890
	Mr. Pattharachok Yoosuk	Code 50361583
	Miss Priyanoot Maijan	Code 50365789
Project advisor	Mr. Boonphol Meechaiyo	
Major	Civil Engineering	
Department	Civil Engineering, Faculty of Engineering Naresuan University	
Academic year	2010	

Abstract

This project aims to study the effect of temperature on stability and the flow of asphalt concrete. This experiment is designed to find property to control the temperature at 30, 40, 50 and 60 degrees before to take asphalt concrete sample were tested property Stability (Stability) and flow (Flow) based of standards of the Department of Highways (De.-d. 604/2517), the design of asphalt concrete aggregate materials from Sila U-D Stone Mill, Thong San Kun district, Uttaradit. The result of test, temperature affects the stability and the flow of asphalt concrete when the temperature was higher. The stability is reduced at 30, 40, 50 and 60 degrees, the value stable is 2,695 2,540 2,410 and 2,343 Lbs., The change stability of each temperature range, representing 5.75%, 5.12% and 2.78% of change value of all stability. And the relationship between temperature and the ability to flow (Flow) at 30, 40, 50 and 60 degrees, the flow is set to 9, 10, 11 and 13 (1 / 100 "Flow), indicating that at higher temperatures the flow will increase.

The results showed the effect of temperature on stability and the flow of the asphalt concrete can be concluded that because higher temperatures cause the asphalt coated aggregate more liquid. The ability to grip each of the mass of the particles decreased. When the load Asphalt concrete is caused to easily slip. Because the ability to flow much, it is the cause of the ability of the surface payload is decreased.

กิตติกรรมประกาศ

ปริญญาในพันธ์นี้ถูกล่วงได้ด้วยดี โดยได้รับความกรุณาจาก อาจารย์บุญพล มีไชโย อาจารย์ที่ปรึกษาโครงการที่กรุณาให้คำปรึกษา ตรวจสอบ แก้ไข และชี้แนะรายงานโครงการนี้จนสำเร็จถูกล่วงไปได้ด้วยดี ภายนผู้จัดทำโครงการขอขอบพระคุณอาจารย์เป็นอย่างสูง ด้วยความกรุณา ณ ที่นี่

ขอขอบคุณ สำนักหอภาพกลางที่ 4 พิมพ์โลก (ส่วนตรวจสอบวิเคราะห์ทางวิศวกรรม) ที่กรุณาดำเนินความสะอาด เอียงเพื่อในการใช้สถานที่และอุปกรณ์ทั้งในและนอกเวลาราชการในการปฏิบัติโครงการ

ขอขอบพระคุณบิดา นารดาที่เป็นกำลังใจ ช่วยเหลือ และอยู่เคียงข้างมาตลอดเวลา

คณะผู้ดำเนินโครงการวิศวกรรม
นายณรงค์ฤทธิ์ พันธ์ภู
นางวิภาวดี อยู่สุข
นางสาวปริยาณุช ใหม่จันทร์

มีนาคม 2554



สารบัญ

	หน้า
ใบรับรองปริญานิพนธ์.....	ก
บทคัดย่อภาษาไทย.....	ข
บทคัดย่อภาษาอังกฤษ.....	ค
กิตติกรรมประกาศ.....	ง
สารนี้.....	จ
สารบัญตาราง.....	ฉ
สารบัญรูป.....	ช
สารบัญสัญลักษณ์และอักษรย่อ.....	ญ
บทที่ 1 บทนำ.....	1
1.1 ความเป็นมาและความสำคัญของโครงการ.....	1
1.2 วัตถุประสงค์ของโครงการ.....	1
1.3 ประโยชน์ที่คาดว่าจะได้รับ.....	2
1.4 ขอบเขตการดำเนินงาน.....	2
1.5 ขั้นตอนการดำเนินงาน.....	2
1.6 แผนการดำเนินงาน.....	3
1.7 รายละเอียดงบประมาณตลอดโครงการ.....	3
บทที่ 2 หลักการและทฤษฎี.....	4
2.1 แอสฟัลต์คอนกรีต (Asphalt concrete).....	4
2.2 วัสดุมวลรวม.....	4
2.3 ยางแอสฟัลต์ AC(60/70).....	4
2.4 การศึกษาการผลิตแอสฟัลต์คอนกรีต.....	5
2.5 การออกแบบแอสฟัลต์คอนกรีต ตามวิธีนาร์เชลล์.....	5
บทที่ 3 วิธีการออกแบบแอสฟัลต์คอนกรีต.....	8
3.1 อุปกรณ์ที่ใช้ในการออกแบบ.....	8
3.2 วัสดุที่ใช้.....	9

สารบัญ (ต่อ)

	หน้า
3.3 การเรียนรู้สู่.....	9
3.4 การทดสอบวัสดุ.....	11
 บทที่ 4 ผลการทดสอบและการวิเคราะห์ผล.....	29
4.1 ค่าความถ่วงจำเพาะ และการคูณซึ่งน้ำของวัสดุมวลรวม (Aggregates).....	29
4.2 ค่าความถ่วงจำเพาะ และการคูณซึ่งของบางแอสฟัลต์ AC(60/70).....	29
4.3 การทดสอบความหนาแน่น.....	30
4.4 การทดสอบความเสถียรภาพของแอสฟัลต์คอนกรีต.....	31
4.5 การทดสอบค่าการไหลของแอสฟัลต์คอนกรีต.....	32
4.6 ผลการทดสอบแอสฟัลต์คอนกรีตที่ได้จากการคำนวณ.....	33
 บทที่ 5 บทสรุปและข้อเสนอแนะ.....	36
5.1 บทสรุป.....	36
5.2 ข้อเสนอแนะ.....	42
 เอกสารอ้างอิง.....	43
 ภาคผนวก ก.....	44
ภาคผนวก ข.....	47
ภาคผนวก ค.....	49
ภาคผนวก ง.....	52

สารบัญตาราง

ตารางที่	หน้า
1.1 แผนการศึกษาโครงการ.....	3
4.1 แสดงค่าความถ่วงจำเพาะ และการดูดซึมน้ำของสัมบูรณ์รวม.....	15
4.2 แสดงค่าความถ่วงจำเพาะ และการดูดซึมน้ำของแอสฟัลต์ AC(60/70).....	15
5.1 ตารางสรุปความสัมพันธ์ระหว่าง ค่าเสถียรภาพ กับ อุณหภูมิที่เปลี่ยนไป.....	23
5.2 ตารางสรุปความสัมพันธ์ระหว่าง ค่าการไหล กับ อุณหภูมิที่เปลี่ยนไป.....	24
5.3 ตารางสรุปความสัมพันธ์ระหว่างอุณหภูมิ กับค่าเสถียรภาพ(Stability) ของ Asphalt Concrete และ Recycling Asphalt Concrete.....	26
5.4 ตารางสรุปความสัมพันธ์ระหว่างอุณหภูมิ กับค่าการไหล(Flow) ของ Asphalt Concrete และ Recycling Asphalt Concrete.....	28



สารบัญ

หัวข้อ	หน้า
3.1 แผนผังแสดงขั้นตอนการดำเนินโครงการ.....	10
3.2 การอบวัสดุมวลรวม.....	15
3.3 การให้ความร้อนกับแบบหล่อ.....	15
3.4 การให้ความร้อนกับยางแอสฟัลต์ AC(60-70).....	16
3.5 การผสมมวลรวมกับวัสดุแอสฟัลต์ AC(60-70).....	16
3.6 อุปกรณ์ในการตัดก้อนตัวอย่างแอสฟัลต์ก้อนกรีต.....	17
3.7 การเหตุว่าอย่างที่ผสมเข้ากันแล้วลงแบบที่เตรียมไว้.....	17
3.8 การเตรียมตัวอย่างก้อนคำ.....	18
3.9 การตัดก้อนตัวอย่างแอสฟัลต์ก้อนกรีต.....	18
3.10 ลักษณะก้อนตัวอย่างจะเป็นรูปไข่ในแบบหล่อ.....	19
3.11 การคัณก้อนตัวอย่างออกจากแบบหล่อ.....	19
3.12 การให้ความร้อนกับก้อนตัวอย่างแอสฟัลต์ก้อนกรีต.....	20
3.13 การทดสอบค่า Slability และค่า Flow.....	20
4.1 แสดงความสัมพันธ์ระหว่างค่าความหนาแน่น กับค่าปริมาณยางแอสฟัลต์ AC (60/70) โดยนำหนัก.....	30
4.2 แสดงความสัมพันธ์ระหว่างค่าความเสถียรภาพ กับค่าปริมาณยางแอสฟัลต์ AC (60/70) โดยนำหนัก.....	31
4.3 แสดงความสัมพันธ์ระหว่างค่าการไหล กับค่าปริมาณยางแอสฟัลต์ AC (60/70) โดยนำหนัก.....	32
4.4 แสดงความสัมพันธ์ระหว่างค่าร้อยละของช่องว่างอากาศ กับค่าปริมาณยางแอสฟัลต์ AC (60/70) โดยนำหนัก.....	33
4.5 แสดงความสัมพันธ์ระหว่างค่าร้อยละของช่องว่างระหว่างอนุภาคของมวลรวม กับค่าปริมาณยางแอสฟัลต์ AC (60/70) โดยนำหนัก.....	34
4.6 แสดงความสัมพันธ์ระหว่างค่าร้อยละของช่องว่างที่ถูกแทนที่ด้วยยาง AC(60/70) กับค่าปริมาณยางแอสฟัลต์ AC (60/70) โดยนำหนัก.....	35
5.1 ความสัมพันธ์ระหว่างอุณหภูมิ กับค่าเสถียรภาพ(Stability).....	36

สารบัญรูป (ต่อ)

รูปที่	หน้า
5.2 ความสัมพันธ์ระหว่างอุณหภูมิ กับค่าการไหล(Flow).....	38
5.3 ความสัมพันธ์ระหว่างอุณหภูมิกับค่าเสถียรภาพ(Stability) ของ Asphalt Concrete และ Recycling Asphalt Concrete	40
5.4 ความสัมพันธ์ระหว่างอุณหภูมิ กับค่าการไหล(Flow) ของ Asphalt Concrete และ Recycling Asphalt Concrete.....	41



คำนิยามตัวพท'

Density(D)	ความหนาแน่น(gm./ml.)
Stability(S)	เสถียรภาพ(Lbs.)
Flow(F)	ค่าการไหล(1/100 นิ้ว)
Air Voids(AV)	ช่องว่างอากาศ(%)
Voids in Mineral Aggregate(VMA)	ช่องว่างระหว่างอนุภาคของมวลรวม(%)
Voids Filled with Bituminous(VFB)	ช่องว่างที่ถูกแทนที่ด้วยแอสฟัลต์(%)



บทที่ 1

บทนำ

1.1 ความเป็นมาและความสำคัญของโครงงาน

แอสฟัลต์คอนกรีตเป็นวัสดุที่นิยมใช้กันอย่างแพร่หลายในปัจจุบัน เพราะเป็นวัสดุที่มีความหนาแน่นทั้งค่าน้ำหนักและคุณสมบัติต่างๆ แอสฟัลต์คอนกรีตประกอบด้วยส่วนผสม 2 ส่วนคือ ยางและสีฟลัด AC (60/70) และวัสดุมวลรวมขนาด $3/4, 1/2, 3/8$ และหินฝุ่น โดยใช้ความร้อนเป็นตัวช่วยในการประสานเมื่อนำมาผสมกัน จะคงสภาพของเหลวอยู่ช่วงเวลาหนึ่ง พอดีจะนำไปเทลงบนหลังคา หลังจากนั้นจะเปลี่ยนสภาพเป็นของแข็ง มีความแข็งแรง และสามารถรับน้ำหนักได้ดี

ในการออกแบบแอสฟัลต์คอนกรีตโดย วิชเนาร์ เซลล์ ได้มีการทดสอบคุณสมบัติของแอสฟัลต์ คอนกรีต โดยการทดสอบค่าเสถียรภาพ(Stability) และค่าการไหล(Flow) ซึ่งค่าดังกล่าวบ่งบอกถึงความสามารถในการรับน้ำหนักการจราจร ได้โดยไม่เกิดร่องล้อ หรือมีการเปลี่ยนแปลงรูปร่างผิดไปจากเดิม ความมีเสถียรภาพ และความสามารถในการไหลของแอสฟัลต์คอนกรีต ขึ้นอยู่กับความเสียดทานภายใน และแรงปั๊บประสาทระหว่างอนุภาคของมวลรวม ลักษณะความเรียบ หนาน หรือความขรุขระของผิวนุภาคของมวลรวม

การเพิ่มปริมาณแอสฟัลต์ในส่วนผสมจะทำให้ค่าแรงยึดเกาะเพิ่มขึ้น แต่เมื่อเพิ่มปริมาณแอสฟัลต์จนถึงก้าวนี้ จะทำให้แอสฟัลต์ที่เคลือบอนุภาคของมวลรวมหนาเกินไป เป็นผลให้ความเสียดทานระหว่างอนุภาคของมวลรวมมีค่าลดลง ความสามารถในการไหลมีแค่เพิ่มขึ้น ส่งผลให้ค่าเสถียรภาพมีค่าลดลง

อุณหภูมิเป็นปัจจัยที่มีผลกระทบโดยตรงต่อค่าการไหลของแอสฟัลต์คอนกรีต เมื่อจากอุณหภูมนิการเปลี่ยนแปลงอยู่ตลอดเวลา จึงได้ทำการศึกษา เพื่อให้ได้มาซึ่งค่าตอบที่ว่า การเปลี่ยนแปลงของอุณหภูมิ ส่งผลให้ค่าเสถียรภาพ และค่าการไหล เปลี่ยนไปในทิศทางใด

1.2 วัตถุประสงค์ของโครงงาน

- 1.2.1 เพื่อศึกษาหาส่วนผสมของแอสฟัลต์คอนกรีตที่เหมาะสมและใกล้เคียงกับสภาพการใช้งานในสนาม
- 1.2.2 เพื่อเปรียบเทียบคุณสมบัติค้านค่าเสถียรภาพ และค่าการไหลของแอสฟัลต์คอนกรีตที่อุณหภูมิ $30, 40, 50$ และ 60 องศา
- 1.2.3 เพื่อให้ได้มาซึ่งวัสดุผิวทางแอสฟัลต์คอนกรีตที่มีคุณภาพและนำไปใช้งานได้จริง

1.3 ประโยชน์ที่คาดว่าจะได้รับ

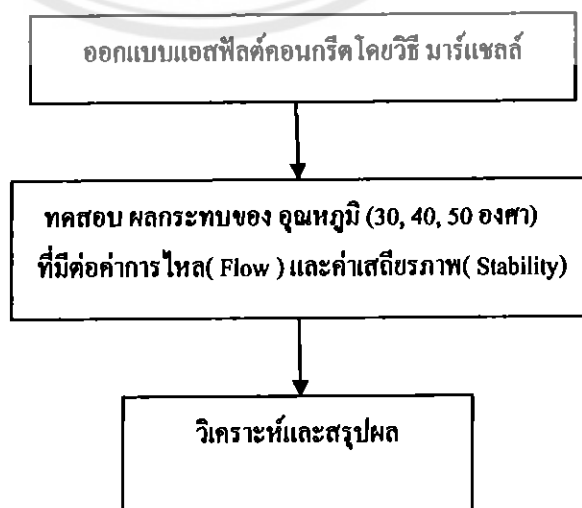
- 1.3.1 ได้ส่วนผสมของแอสฟัลต์คอนกรีตที่เหมาะสม และใกล้เคียงกับสภาพการใช้งานใน
สนามมากที่สุด
- 1.3.2 ได้แอสฟัลต์คอนกรีตที่มีคุณภาพดี สามารถนำไปใช้เป็นวัสดุพิเศษของถนนอย่างมี
ประสิทธิภาพ
- 1.3.3 ทราบถึงสาเหตุ และปัจจัยที่มีผลต่อกุณสมบัติค้านเสถียรภาพ และการไหลของแอสฟัลต์
คอนกรีต

1.4 ขอบเขตการทำโครงการ

ศึกษาการออกแบบส่วนผสมของแอสฟัลต์คอนกรีตให้มีสัดส่วนระหว่างแอสฟัลต์ซีเมนต์ กับ
มวลรวมที่เหมาะสม เพื่อให้ได้แอสฟัลต์คอนกรีตที่มีคุณภาพดี สามารถนำไปใช้เป็นวัสดุพิเศษของ
ถนนอย่างมีประสิทธิภาพ คงทนถาวรสอดคล้องด้วยการใช้งาน และคงปัญหาความเสียหายของผิวทาง
แอสฟัลต์คอนกรีตที่เกิดจาก การเปลี่ยนแปลงของอุณหภูมิ

การทดสอบคุณสมบัติได้ ควบคุมอุณหภูมิที่ 30, 40, 50 และ 60 องศา และทำการทดสอบ
คุณสมบัติค้านเสถียรภาพ(Stability) และการไหล(Flow) โดยอ้างอิงจาก มาตรฐานของกรมทาง
หลวง (ทล.-ท. 604/2517) การออกแบบแอสฟัลต์คอนกรีตในที่นี้ใช้วัสดุมวลรวมจาก โรงโม่หินศิลา
ชุดี สำหรับทางแสงขัน จังหวัดอุตรดิตถ์

1.5 ขั้นตอนดำเนินงาน



1.6 แผนการดำเนินงาน

เดือน/กิจกรรม	ส.ค.				ก.ย.				ต.ค.				พ.ย.				ธ.ค.			
	1	2	3	4	1	2	3	4	1	2	3	4	1	2	3	4	1	2	3	4
1. ศึกษาข้อมูล																				
2. หาข้อมูลของงานวิจัย ทั้งทฤษฎีและปฏิบัติ																				
3. ออกแบบก้อนตัวอย่าง ทำก้อนตัวอย่าง และการทดสอบ																				
4. สรุปและวิเคราะห์ผล																				
5. จัดทำรูปเล่ม																				

ตารางที่ 1.1 แผนการศึกษาโครงการ

1.7 รายละเอียดงบประมาณของโครงการ

1.7.1 ค่าใช้จ่ายเอกสาร	500	บาท
1.7.2 ค่าใช้จ่ายอื่นๆ	500	บาท
1.7.3 ค่าวัสดุในการทำโครงการ	1,000	บาท
1.7.4 ค่าอุปกรณ์ในการทำโครงการ	1,000	บาท
รวมค่าใช้จ่ายทั้งหมด	3,000	บาท(สามพันบาทถ้วน)

บทที่ 2

หลักการและมาตรฐานเบื้องต้น

ในบทนี้จะกล่าวถึงรายละเอียดเบื้องต้นของ มวลรวมหกาน มวลรวมละเอียด วัสดุที่ใช้ในการทดสอบ และวิธีการคำนวณ ผลการทดสอบ ค่าความหนาแน่น ค่าความเสถียรภาพ ค่าการไหล ค่าร้อยละของซ่องว่างอากาศ ค่าร้อยละของซ่องว่างระหว่างอนุภาคมวลรวม และค่าร้อยละของซ่องว่างที่ถูกแทนที่ด้วยยางแอสฟัลต์ AC (60/70)

2.1 แอสฟัลต์คอนกรีต (Asphalt concrete)

เนื่องจากแอสฟัลต์คอนกรีต โดยทั่วไปจะประกอบไปด้วย ยางแอสฟัลต์ AC (60/70) กับวัสดุมวลรวมหกานและวัสดุมวลรวมละเอียด เป็นองค์ประกอบที่สำคัญ ซึ่งในปัจจุบัน โรงไม่หินที่ทำการผลิตมวลรวม(Aggregate) นิ่งจำนวนมาก ซึ่งถ้าหากเราเลือกวัสดุจากโรงโน้มีคุณภาพการผลิตที่ดีนั้น ย่อมทำให้งานทางวิศวกรรมที่ใช้แอสฟัลต์คอนกรีตมีคุณภาพที่ดีตามไปด้วย

2.2 วัสดุมวลรวม(Aggregate)

มวลรวมสำหรับแอสฟัลต์คอนกรีต มวลรวม(Aggregate)ที่ใช้สำหรับแอสฟัลต์คอนกรีต จำแนกออกเป็น วัสดุมวลรวมหกาน(Coarse Aggregate) และวัสดุมวลรวมละเอียด(Fine Aggregate)

2.2.1 วัสดุมวลรวมหกาน(Coarse Aggregate)

วัสดุมวลรวมหกาน หมายถึง มวลที่มีขนาดอนุภาคใหญ่กว่า 4.75 มิลลิเมตร หรือค้างตะแกรงเบอร์ 4

2.2.2 วัสดุมวลรวมละเอียด(Fine Aggregate)

วัสดุมวลรวมละเอียด หมายถึง มวลที่มีขนาดอนุภาคอยู่ระหว่าง 4.75 มิลลิเมตร และ 0.075 มิลลิเมตร หรือผ่านตะแกรงเบอร์ 4 และค้างบนตะแกรงเบอร์ 200

2.3 ยางแอสฟัลต์ AC(60/70)

ยางแอสฟัลต์ที่ใช้ในโครงการนี้ เลือกยางให้เหมาะสมต่อสภาพอากาศในประเทศไทย ซึ่งมีอากาศร้อนควรใช้ยางชนิด Penetration เกรด 60-70 เช่นเดียวกับสัดส่วนขนาดของมวลรวมปรินามะยางที่ใช้ในการทดสอบก็จะแตกต่างกันตามอัตราส่วนโดยน้ำหนักของก้อนตัวอย่างในการนำไปใช้งาน ยางที่ใช้จะต้องให้ความร้อน ณ อุณหภูมิที่ 150±5 องศาเซลเซียส

2.4 การศึกษาการผลิตแอสฟัลต์คอนกรีต

การผลิตคอนกรีตแอสฟัลต์ทำ ได้หลายวิธี แต่วิธีที่เหมาะสมสำหรับประเทศไทยนี้ 2 วิธี คือ แบบผสมเสร็จจากโรงงาน (Plant mix) และแบบผสมในสนาม (Field mix) กรรมวิธีในการทำคอนกรีตแอสฟัลต์ผสมเสร็จคือ ต้องมีโรงงานหรือสถานที่ผสม (Plant) โดยให้ความร้อนแก่หินและยางจนได้อุณหภูมิที่ต้องการแล้วจึงผสมกับเศษหินในเครื่องในอัตราส่วนที่ถูกต้องตามที่ออกแบบไว้ เมื่อผสมจนได้ที่จึงเทใส่ร่องรถทุกແลัวนำไปปั้งสถานที่ก่อสร้าง เทลงในเครื่องปูคอนกรีตแอสฟัลต์ (Asphalt concrete paving machine or paver) ผู้ควบคุมงานที่ต้องการແลัวบดอัดด้วยรถบดล้อเหล็ก หรือล้อยาง ตามลำดับ แอสฟัลต์คอนกรีตแอสฟัลต์ที่ผสมโดยวิธีนี้ถือว่ามีคุณภาพดีที่สุดแต่มีราคาค่อนข้างแพง เพราะต้องใช้เครื่องจักร และเครื่องมือหลายชนิด ส่วนคอนกรีตแอสฟัลต์แบบผสมในสนามทำ ได้โดย bard แอสฟัลต์บนพื้นผิวที่ได้เตรียมไว้ แล้วเกลี่ยมราบทรัม เช่น หินย้อย หรือกรวดบดปิดทับແลัวทำการบดทับให้เรียบ เรียกว่า “Surface Treatment” ผิวทางประเภทนี้อาจทำ เพียงชั้นเดียว (Single Bituminous Surface Treatment, SBST) สองชั้น (Double Bituminous Surface Treatment, DBST) หรือหลายชั้น (Multi Bituminous Surface Treatment, MBST) ผิวทางแบบนี้คุณภาพไม่ได้เท่าแบบผสมเสร็จ แต่ทำได้รวดเร็วและมีราคาถูกกว่าอย่างไรก็ตาม ไม่ว่าจะก่อสร้างโดยวิธีใดจะต้องคำนวณออกแบบส่วนผสมแอสฟัลต์คอนกรีตให้เหมาะสมกับจำนวนขวดยกพานพาหนะ(หรือโดยน้ำหนักกิโล น้ำหนักของขวดยกพานพาหนะ) และต้องทดสอบคุณสมบัติต่าง ๆ ที่กำหนดให้ในห้องปฏิบัติการเสมอ

2.5 การออกแบบแอสฟัลต์คอนกรีต ตามวิธีนาร์แซลล์

2.5.1 ทั่วไป

โครงการนี้ใช้ความสัมพันธ์ระหว่างวัสดุมวลรวมพานพาหนะ วัสดุมวลรวมละอีด และยาง แอสฟัลต์ AC(60/70) โดยวิธีนาร์แซลล์ เพื่อใช้ในการทดสอบค่าความหนาแน่น ค่าความเสถียรภาพ ค่าการไหล ค่าร้อยละของซ่องว่างอากาศ ค่าร้อยละของซ่องว่างระหว่างอนุภาคมาร่วม และค่าร้อยละของซ่องว่างที่ถูกแทนที่ด้วยยางแอสฟัลต์ AC (60/70)

- ก. ความหนาแน่น (Density, D) คือ มวลของแอสฟัลต์คอนกรีตต่อหนึ่งหน่วยปรินาตร ผิวทางแอสฟัลต์คอนกรีตที่มีความหนาแน่นมากพอจะทำให้มีอิฐการใช้งานได้นาน และมีคุณภาพดี

$$\text{ดังนี้} \quad D = (A / (B-C)) \quad (2.1)$$

$$\text{เมื่อ} \quad D = \text{ความหนาแน่น (gm./ml.)}$$

A = ชั่งน้ำหนักในอากาศ (gm.)

B = ชั่งน้ำหนักอิ่มตัวผิวแห้ง (gm.)

C = ชั่งน้ำหนักในน้ำ(gm.)

บ. เสถียรภาพ(Stability) คือ ความสามารถในการรับน้ำหนักการจราจรได้โดยไม่เกิดร่องล้อ หรือเป็นคลื่น หรือมีการเปลี่ยนแปลงญูร่าง ผิดไปจากเดิม ความมีเสถียรภาพของแอสฟัลต์ก้อนกรีดขึ้นอยู่กับความเสียดทานภายใน และแรงยึดประสานระหว่างอนุภาคของมวลรวม ความเสียดทานเป็นผลมาจากการสมบัติของมวลรวม ซึ่งได้แก่ ญูร่างอนุภาคของมวลรวมลักษณะความเรียบ หยาบ หรือขุรขะของผิวนุภาคของมวลรวม ส่วนแรงยึดเกาะเป็นผลมาจากการสมบัติของแอสฟัลต์ในการยึดเกาะกับอนุภาคของมวลรวมให้คิดกัน ได้เพียงใด ผลกระทบของความเสียดทาน และแรงยึดเกาะระหว่างอนุภาคของมวลรวม จะช่วยป้องกันไม่ให้ออนุภาคของมวลรวมเกิดการเคลื่อนที่ผ่านซึ่งกันและกันเมื่อมีน้ำหนักของyanพาหนะมากระทำ

ดังนั้น	$S = (9.7021X) - 31.5189$	(2.2)
เมื่อ	S = เสถียรภาพ(Lbs.)	
	X = ค่าที่อ่านได้จาก Dial gage	

ค. ค่าการไหล (Flow) คือ ความสามารถทบท่อสภาวะอุณหภูมิที่สูงขึ้นเมื่อสภาวะดันน้ำริง ได้รับความร้อนจะเกิดการไหลของผิวทางจราจร ซึ่งไม่สามารถมองเห็นได้ด้วยตาเปล่า จะนับในห้องทดลองซึ่งได้จำลองโดยการนำก้อนตัวอย่างแข่น้ำ ที่อุณหภูมิ 60 องศาเซลเซียส เป็นเวลา 30นาที และนำมาทดสอบหาค่าการไหลเพื่อจะนำไปใช้จริงในสภาวะน้ำๆ

ดังนั้น	$F = \text{ค่าที่อ่านได้จาก Dial gage (1/100)}$	(2.3)
เมื่อ	F = ค่าการไหล (cm.)	

๔. ช่องว่างอากาศ (Air Void, AV) คือ ปริมาตรห้องหมุดของช่องเด็กๆ ที่มีอากาศบรรจุอยู่ระหว่างอนุภาคของมวลรวมที่ถูกเคลื่อนด้วยแสงฟลักต์ในส่วนผสมแอสฟัลต์คอนกรีตที่บดอัดแล้ว แสดงเป็นร้อยละของปริมาตรห้องก้อนของส่วนผสมแอสฟัลต์คอนกรีตที่บดอัดแล้ว

$$\text{ดังนั้น } \quad \text{AV} = \text{VMA} - j \quad (2.4)$$

$$\text{เมื่อ } \quad \text{AV} = \text{ช่องว่างอากาศ (\%)} \quad$$

$$\text{VMA} = \text{ช่องว่างระหว่างอนุภาคมวลรวม (\%)} \quad$$

$$J = \text{ผลรวมปริมาตรยางแอสฟัลต์ AC (60/70) (\%)} \quad$$

๕. ช่องว่างระหว่างอนุภาคของมวลรวม (Voids in Mineral Aggregate, VMA) คือ ปริมาตรของช่องว่างที่อยู่ระหว่างอนุภาคแต่ละก้อนของมวลรวมในส่วนผสมแอสฟัลต์คอนกรีตที่บดอัดแล้ว มีค่าเท่ากับ ค่าของช่องว่างอากาศรวมกับค่าแอสฟัลต์ประสิทธิผล และค่าเป็นร้อยละของปริมาตรห้องหมุดของส่วนผสม

$$\text{ดังนั้น } \quad \text{VMA} = 100 - k \quad (2.5)$$

$$\text{เมื่อ } \quad \text{VMA} = \text{ช่องว่างระหว่างอนุภาคของมวลรวม (\%)} \quad$$

$$K = \text{ผลรวมปริมาณวัสดุคงวน (\%)} \quad$$

๖. ช่องว่างที่ถูกแทนที่ด้วยแสงฟลักต์ (Voids Filled with Bituminous, VFB) คือ ส่วนหนึ่งของช่องว่างระหว่างอนุภาคของมวลรวม โดยเป็นส่วนที่แอสฟัลต์ประสิทธิผลบรรจุอยู่

$$\text{ดังนั้น } \quad \text{VFB} = ((100 * j) / \text{VMA}) \quad (2.6)$$

$$\text{เมื่อ } \quad \text{VFB} = \text{ช่องว่างที่ถูกแทนที่ด้วยแสงฟลักต์ (\%)} \quad$$

$$\text{VMA} = \text{ช่องว่างระหว่างอนุภาคของมวลรวม (\%)} \quad$$

บทที่ 3

ขั้นตอนการออกแบบและพัฒนาคุณภาพ

ในบทนี้จะกล่าวถึง อุปกรณ์ที่ใช้ในการออกแบบ วัสดุที่ใช้ในการออกแบบ ขั้นตอนการเตรียมวัสดุที่ใช้ในการออกแบบ วิธีการออกแบบ และขั้นตอนการออกแบบ กับกำลังของแอสเพล็ต คุณภาพ ก่อนที่จะทำการทดลองต้องมีการเตรียมอุปกรณ์ และวัสดุที่ใช้ให้พร้อม เพื่อที่จะได้ทำการออกแบบ ได้ทันทีและสามารถช่วยทำให้ระยะเวลาการดำเนินงานในการทำโครงการนี้เป็นไปตามแผนการที่วางไว้อีกทั้งวัสดุและอุปกรณ์ที่เตรียมไว้จะต้องได้มาตรฐาน และทำการออกแบบตามขั้นตอน จะทำให้ผลการออกแบบ มีประสิทธิภาพ

3.1 อุปกรณ์ที่ใช้ในการออกแบบ

- 3.1.1 ตะแกรงซ่องผ่านเป็นสี่เหลี่ยมจัตุรัส ขนาดซ่องผ่านต่างๆ
- 3.1.2 เครื่องซึ่ง สามารถซั่งละเอียดได้ถึง 0.2 % ของตัวอย่างทั้งหมด
- 3.1.3 เตาอบ สามารถควบคุมอุณหภูมิให้คงที่ 110 ± 5 องศาเซลเซียส
- 3.1.4 เครื่องแบ่งตัวอย่าง (Sample Splitter) ขนาดต่างๆ
- 3.1.5 แปรรูปทำความสะอาดตะแกรงชนิด漉漉ทองเหลือง แปรรูปโลหะ และแปรรูปชน
- 3.1.6 ภาชนะสำหรับใส่ เช่น และถังตัวอย่างตัวอย่างตัวอย่างมีด
- 3.1.7 Pyrometer เป็นขวดแก้วแบบ Flask
- 3.1.8 กระบอกห่วงพลาสติกเก็บผ่านศูนย์กลางภายใน 31.75 มิลลิเมตร สูง 431.80 มิลลิเมตร
- 3.1.9 Irrigator Tube
- 3.1.10 Weighter Foot Assembly
- 3.1.11 Siphon Assembly
- 3.1.12 กระบอกห่วง(Measuring Can)ขนาด 85 ± 5 มิลลิเมตร
- 3.1.13 กระบอกห่วง
- 3.1.14 นาฬิกาจับเวลา
- 3.1.15 กระถางมังเกดีอบ
- 3.1.16 ภาชนะมีขอบสูงประมาณ 15 เซนติเมตร
- 3.1.17 เตาอบที่สามารถให้อุณหภูมิสูงถึง 250 องศาเซลเซียส
- 3.1.18 เตาแบบ Hot Plate ที่สามารถให้อุณหภูมิสูงถึง 200 องศาเซลเซียส
- 3.1.19 หม้อโอลีฟ
- 3.1.20 เกรียง

- 3.1.21 เทอร์โนมิเตอร์ชนิดมีก้านเป็นโลหะสามารถให้อุณหภูมิสูงถึง 250 องศาเซลเซียส
- 3.1.22 เครื่องซั่งสามารถซั่งน้ำหนักได้ถึง 2 กิโลกรัม มีความละเอียดถึง 0.1 กรัม
- 3.1.23 แท่นรอง(Compaction Pedestal)
- 3.1.24 แบบสำหรับดัดหับ(Compaction Mold)
- 3.1.25 ค้อน(Compaction Hammer)
- 3.1.26 ที่จับแบบ(Mold holder)
- 3.1.27 เครื่องดันตัวอย่าง(Sample Extruder)
- 3.1.28 ถุงมือกันความร้อนชนิดไบทิน(Asbestos)
- 3.1.29 เครื่องทดสอบมาร์เชลล์(Marshall Testing Machine)
- 3.1.30 แบบทดสอบStability(Stability Mold)
- 3.1.31 เครื่องวัดFlow (Flow Meter)

3.2 วัสดุที่ใช้

- 3.2.1 ยางแอสฟัลต์ AC (60/70)
- 3.2.2 หิน

3.3 การเตรียมวัสดุ

3.3.1 ยางแอสฟัลต์ AC (60/70)

ยางแอสฟัลต์(Bituminous Materials) วัสดุที่ใช้ต้องเป็นวัสดุแอสฟัลต์ซีเมนต์(Asphalt Cement-AC.) ชนิด 60-70 Penetration Specifications ของแอสฟัลต์ให้เป็นไปตามข้อกำหนดของกรมทางหลวง เวลานำมาใช้ต้องให้อุณหภูมิแก่ยางที่ 150 ± 5 องศาเซลเซียส

แหล่งที่มาของยางแอสฟัลต์ AC (60/70) บริษัททิปโก้แอสฟัลต์ จำกัดศรีราชา จังหวัดชลบุรี

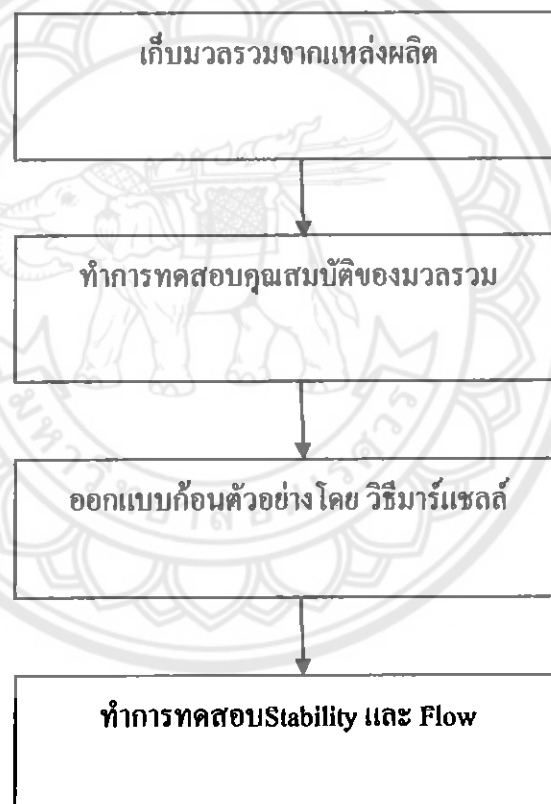
3.3.2 หิน

วัสดุ Aggregate ที่มีขนาดก้างตะแกรงเบอร์ 4 (U.S. Standard Sieve) เรียกว่า Coarse Aggregate ส่วนที่ผ่านตะแกรงเบอร์ 4) เรียกว่า Fine Aggregate เวลานำมาใช้ต้องให้อุณหภูมิแก่หิน ที่อุณหภูมิ 180 ± 5 องศาเซลเซียส

Coarse Aggregate จะต้องเป็นหินย้อย (Crushed Stone) กรวดย้อย (Crushed Gravel) หรือหินย้อย และกรวดย้อยผสมกันหรืออ่องอย่างอื่นอย่างใดที่มีคุณสมบัติเทียบเท่ากับวัสดุ Coarse Aggregate จะต้องสะอาดปราศจากสิ่งสกปรก คินเนี้ยว Silt หรือ Organic Matter ผสมหรือปนอยู่จะต้องไม่มีปฏิกิริยากับวัสดุแอสฟัลต์ทำให้คุณภาพของ Asphaltic Concrete เสื่อมเสีย

Fine Aggregate จะต้องเป็นหินผุน หรือทรายที่สะอาดปราศจากสิ่งสกปรก ดินเหนียว Silt หรือ Organic Matter ผสมหรือปนอยู่จะต้องไม่มีปฏิกิริยากับวัสดุและพืล์ทำให้คุณภาพของ Asphaltic Concrete เสื่อมเสีย

การดำเนินโครงการ จะทำการหาความเหมาะสมของวัสดุมวลรวมเพื่อใช้ในการทำแอสฟัลต์ กอนกรีต โดยมีขั้นตอนการขั้คเครื่ยมวัสดุมวลรวมและบางแอสฟัลต์บ่ายมีระบบ รวมถึงเทคนิคในการทำแอสฟัลต์กอนกรีต และทดสอบตามมาตรฐานการทดสอบวัสดุทำการวิเคราะห์ข้อดี และข้อเสียของแอสฟัลต์กอนกรีต มีรายละเอียดดังแผนผังแสดงขั้นตอนโครงการ ดังรูปที่ 3.1



รูปที่ 3.1 แผนผังแสดงขั้นตอนการดำเนินโครงการ

3.4 การทดสอบวัสดุ

3.4.1 การทดสอบหาขนาดคละผ่านตะแกรงขนาดแบบตัวง

ก. ถ้าตัวอย่างมีส่วนละเอียดจับกันเป็นก้อนต้องทำให้ส่วนละเอียดที่จับกันเป็นก้อนแยกจากกันให้หมด แล้วนำตัวอย่างไปอบแห้งที่อุณหภูมิ 110 ± 5 องศาเซลเซียส มวลตัวอย่างแห้งหรือจะหาความรื้นของตัวอย่างเพื่อคำนวณหาตัวอย่างแห้ง นำตัวอย่างใส่ภาชนะสำหรับใช้ล้างตัวอย่างเท่านั้นหรือน้ำยาลงในภาชนะที่ห่วงดินตัวอย่าง แซฟท์ไว้ประมาณครึ่งชั่วโมง แล้วนำไปเบาประมาณ 10นาที ขณะเบาระวังอย่าให้น้ำกระถางออกจากภาชนะ ถ้าไม่ใช้เครื่องเบาควรแซฟท์ไว้ในภาชนะสำหรับล้างด้วยเครื่องมือนาน 3-4ชั่วโมง เทตัวอย่างลงบนตะแกรงเบอร์ 200(0.075 มม.) ถ้าหากมีตัวอย่างขนาดใหญ่ป่นบุนาก ควรใช้ตะแกรงที่มีขนาดใหญ่กว่าเบอร์ 200(0.075 มม.) ซ้อนไว้ข้างบนเพื่อลดปริมาณตัวอย่างบนตะแกรงเบอร์ 200(0.075 มม.) ใช้น้ำล้างจนไม่มีวัสดุผ่านตะแกรงเบอร์ 200(0.075 มม.) อีกต่อไปแล้วนำไปอบให้แห้งที่อุณหภูมิ 110 ± 5 องศาเซลเซียส

ข. นำตัวอย่างไปเบาในตะแกรงขนาดต่างๆตามต้องการ การเบานี้ต้องให้ตะแกรงเคลื่อนที่ทั้งแนวราบและแนวตั้งรวมทั้งมีแรงกระแทกขณะเบาตัวอย่าง เบย่างนกระทั้งตัวอย่างผ่านตะแกรงแต่ละชนิดใน 1 นาที ไม่เกิน 1% ของตัวอย่างในตะแกรงนั้นหรือใช้เวลาในการเบานานทั้งหมด 15 นาที ถ้าเบาเสร็จแล้ว มีตัวอย่างก้อนใหญ่กว่าตะแกรงเบอร์ 4(4.75 มม.) ต้องไม่มีตัวอย่างซ่อนกันในตะแกรง และตัวอย่างที่มีเม็ดเล็กกว่าตะแกรงเบอร์ 4(4.75 มม.) ต้องมีตัวอย่างค้างตะแกรงแต่ละขนาด ไม่เกิน 6 กรัมต่อ 1000 ตารางมิลลิเมตร หรือไม่เกิน 200 กรัมสำหรับ ตะแกรงเส้นผ่านศูนย์กลาง 203 มิลลิเมตร(8นิ้ว) นำตัวอย่างที่ค้างแต่ละขนาดไปซั่ง

3.4.2 การทดสอบหาขนาดของเม็ดวัสดุโดยผ่านตะแกรงแบบไม่ตัวง

ก. ถ้ามีส่วนละเอียดจับกันใหญ่หรือมีส่วนละเอียดจับกันเองเป็นก้อน ต้องทำให้ส่วนละเอียดหลุดออกจากการก้อนใหญ่หรือส่วนละเอียดที่จับกันเป็นก้อนแตกให้หมด ตกหรือบนตัวอย่างให้ผิวแห้ง ที่อุณหภูมิ 110 ± 5 องศาเซลเซียส

ข. นำตัวอย่างไปเบาในตะแกรงขนาดต่างๆตามต้องการ การเบานี้ต้องให้ตะแกรงเคลื่อนที่ทั้งแนวราบและแนวตั้งรวมทั้งมีแรงกระแทกขณะเบาตัวอย่าง เบย่างนกระทั้งตัวอย่างผ่านตะแกรงแต่ละชนิดใน 1 นาที ไม่เกิน 1% ของตัวอย่างในตะแกรงนั้นหรือใช้เวลาในการเบานานทั้งหมด 15 นาที ถ้าเบาเสร็จแล้ว มีตัวอย่างก้อนใหญ่กว่าตะแกรงเบอร์ 4(4.75 มม.) ต้องไม่มีตัวอย่างซ่อนกันในตะแกรง และตัวอย่างที่มีเม็ดเล็กกว่าตะแกรงเบอร์ 4(4.75 มม.) ต้องมีตัวอย่างค้างตะแกรงแต่ละขนาด ไม่เกิน 6 กรัมต่อ 1000 ตารางมิลลิเมตร หรือไม่เกิน 200 กรัมสำหรับ ตะแกรงเส้นผ่านศูนย์กลาง 203 มิลลิเมตร(8นิ้ว) ถ้าตัวอย่างค้างบนตะแกรงเกินกว่าที่

กำหนดให้แบ่งตัวอย่างทดลองสองครั้ง หรือเพิ่มตะแกรงขนาดใหญ่กว่าตะแกรงที่ค้างเกินเข้าไปอีกขนาดหนึ่งนำไปหาตัวอย่างที่ค้างอยู่บนตะแกรงแต่ละขนาดไปซ้ำ

3.4.3 การทดสอบหาค่าความถ่วงจำเพาะและการคูณน้ำของวัสดุ Aggregate ชนิดเม็ดละเอียด

- นำตัวอย่างที่ได้เตรียมไว้แล้วหนัก 500 กรัม ใส่ลงใน Pycnometer แล้วเติมน้ำลงไปจนได้ปริมาตรประมาณ 450 มิลลิลิตร ทำการไถฟองอากาศออกจนหมด โดยการเบี้ยวและหมุนขวด Pycnometer กลับไปกลับมา แล้วเติมน้ำลงไปจนถึงขีดจำกัดของปริมาตร
- ทำการหมายเวลาทั้งหมดของขวด ตัวอย่างวัสดุ น้ำ โดยการซึ่ง

3.4.4 การทดสอบหาค่า Sand Equivalent

- เดินสารละลายลงไปในขวดพลาสติกให้สูง 4 ± 0.1 ส่วน (4 ± 0.1 เนิ้ว) โดยผ่าน Irrigstor Tube วางกรวยปากกลมบนปากกระบอกตัว แล้วเทลงตัวอย่างจากกระปองดวงลงไปในกระบอกตัว ไถฟองอากาศโดยใช้กันกระบบออกหัวกระแทกกับฝาเมื่อขันตัวอย่างเป็นก้อนที่แน่นๆ

- ปล่อยให้วัสดุตัวอย่างแข็งตัวไว้โดยไม่ถูกรบกวนเป็นเวลา 10 ± 1 นาที แล้วชุดกระบบออกหัวทั้งหมดยกขึ้น พริกกระบบออกหัวคว้าไปมาพร้อมเบื้า เพื่อป้องกันมิให้วัสดุตกค้างอยู่ที่กันกระบบออกหัว

- ใช้มือเบื้ากระบบออกหัว โดยจับกระบบออกหัวด้วยฝ่ามือทั้งสองข้างในแนวราบ ให้ระยะทางเบื้าในแนวราบนี้ยาว 228 ± 25 มิลลิเมตร (9 ± 1 เนิ้ว) และให้เบื้า 90 รอบ ในเวลาประมาณ 30 วินาที (การนับจำนวนรอบให้นับจากจุดเริ่มต้นไปแล้วกลับมาที่จุดเริ่มต้นอีกเป็น 1 รอบ)

- หลังจากเบื้าตามวิธีข้อค. แล้วนำกระบบออกหัวพลาสติกตั้งบนโต๊ะ เอาจอกออก หย่อนปลาบ Irrigstor Tube ลงไปในกระบบออกหัว เปิดให้สารละลายในขวดผ่านออกไปล้างวัสดุที่ติดอยู่ข้างๆกระบบออกหัวนั้น จากขอบนั้นลงไปค่อยๆหมุนและดัน Irrigstor Tube ผ่านชั้นวัสดุเม็ดหินลงไปจนถึงกันกระบบ กว้างๆ เมื่อของผสมมีระดับอยู่ที่ 15 ส่วน (15 เนิ้ว) ค่อยๆยก Irrigstor Tube ขึ้น แต่ยังปล่อยให้สารละลายไหลออกเรื่อยๆจนเมื่อยก Irrigstor Tube ออกจากกระบบออกหัว ระดับของผสมในกระบบออกหัวต้องอยู่ที่ระดับนี้ค 15 ส่วน (15 เนิ้ว)

- ปล่อยกระบบออกหัวทิ้งไว้โดยไม่ให้ถูกรบกวนอีก 20 นาที นับเวลาหลังจากเอา Irrigstor Tube ออก จะเห็นดินเหนียวหล่ออยู่โดยแยกเป็นชั้นอย่างชัดเจน อ่านค่าระดับชั้น

บนสุดของคินเนนีวนนกระบวนการอกร่องเป็นค่า Clay Reading ถ้าในระยะเวลา 20 นาที คินเนนีขวบหักหักก่อนไม่หมด โดยยังไม่เห็นเป็นชั้นแยกอย่างชัดเจนให้ยกเวลารอออกไม่ได้ไม่ควรเกิน 30 นาที ถ้าเวลามากกว่า 30 นาที ยังไม่มีการแยกเห็นได้อย่างชัดเจนให้ทำการทดสอบใหม่ โดยใช้อีก 3 ตัวอย่าง และใช้ค่า Clay Reading ของตัวอย่างที่ใช้ระยะเวลาอกร่องที่ดีที่สุด

ฉ. หากค่า Sand Reading ได้จากการนำเอา Weighted Foot Assembly คู่มาหุย่อนลงในกระบวนการอกร่อง ไปวางบนวัสดุหินหรือทราย อ่านค่าบนกระบวนการอกร่องระดับบนสุดของ Indicator แล้วลบด้วย 10 จะได้ค่า Sand Reading

ช. ค่าของ Clay Reading และ Sand Reading ให้ใช้ทศนิยมเพียง 1 ตำแหน่งเท่านั้น ในกรณีที่อ่านทศนิยมได้นากกว่า 1 ตำแหน่ง ให้ปัดไปในค้านมากจนเหลือทศนิยม 1 ตำแหน่ง เช่น อ่านได้ 3.22 ให้ใช้เป็น 3.3

3.4.5 การออกแบบแอสฟัลต์คอนกรีต โดยวิธีน้ำร้อน

ก. นำกระลนมังไส่ตัวอย่างวัสดุ Aggregate ออกจากเตาอบ แล้วเทวัสดุลงในภาชนะสำหรับผสมวัสดุ Aggregate กับแอสฟัลต์ ใช้เกรียงผสมวัสดุ Aggregate แต่ละนาคคละกันให้ทั่ว ทิ้งไว้ให้อุณหภูมิของ Aggregate ลดลงถึง 140 ± 5 องศาเซลเซียส

ข. นำภาชนะโลหะที่ได้จากข้อ 2.5.1 บนดึบบน Hot Plate ใช้เกรียงผสมวัสดุ Aggregate และแอสฟัลต์ให้เข้ากันโดยเร็วที่สุด โดยปกติประมาณ 1 นาที พยานให้แอสฟัลต์เคลื่อนวัสดุทุกเม็ด

ค. นำแบบสำหรับทดสอบจากข้อ 2.4.7 มาประกอบเข้ากับ

จ. เทตัวอย่างวัสดุลงในแบบที่ประกอบแล้ว ใช้เกรียงแซรออบฯตัวอย่างข้างในแบบประมาณ 15 ครั้ง และแซะเข้าในตัวอย่างอีก 10 ครั้ง ทิ้งไว้ให้อุณหภูมิของตัวอย่างลดลงที่อุณหภูมิเมื่อแอสฟัลต์มี Viscosity เท่ากับ $140+15$ Second Saybolt Furol (สำหรับแอสฟัลต์ AC 80-100 ทิ้งไว้ให้อุณหภูมิลดลง 140 ± 5 องศาเซลเซียส)

ฉ. วางแผนบนตัวอย่างในแบบ ทำการบดทับตัวอย่าง โดยการยกน้ำหนักและการปล่อยให้น้ำหนักลดลงบนแผ่นเหล็ก จำนวนครั้งขึ้นอยู่กับการออกแบบซึ่งแบ่งออกเป็น

แอสฟัลต์คอนกรีต สำหรับถนนที่มีการจราจรชั้น light traffic และ medium traffic จำนวนครั้งใช้ 50 ครั้ง

แอสฟัลต์คอนกรีต สำหรับถนนที่มีการจราจรชั้น heavy traffic และ very heavy traffic จำนวนครั้งใช้ 75 ครั้ง

ฉ. เมื่อครบจำนวนบดทับแล้ว ทำการกลับตัวอย่าง โดยการกลับแบบ เอาด้านล่างขึ้นด้านบน แล้วทำการบดทับ

ช. ทึ้งตัวอย่างที่บคทับเรียบร้อยแล้วไว้ในแบบ จนกระทั่งอุณหภูมิของตัวอย่างลดลงมากกว่า 60 องศาเซลเซียส จึงนำตัวอย่างออกจากแบบ โดยการใช้เครื่องคันตัวอย่าง ทึ้งตัวอย่างไว้ในอากาศธรรมดานิ่งน้อยกว่า 16 ชั่วโมง จึงนำไปทดลองขึ้นต่อไป

ช. ในปริมาณของการผสมโดยใช้แอสฟัลต์เบอร์เท็นอันใดอันหนึ่ง ให้เตรียมตัวอย่างอย่างน้อย 3 ตัวอย่าง สำหรับการออกแบบให้ใช้ตัวอย่างแต่ละเบอร์เท็นของแอสฟัลต์อย่างน้อย 5 ค่า และต่างกัน 0.5%

3.4.6 ขั้นตอนการทดสอบ

การทดสอบหาความแน่น

ก. นำตัวอย่างไปซึ่งในอากาศ

ข. นำตัวอย่างไปแช่ในน้ำธรรมด้าประมาณ 5 นาที แล้วนำตัวอย่างขึ้นจากน้ำ นำมาเช็ดให้แห้ง ชั่งท่าน้ำหนักในอากาศ

ก. นำตัวอย่างจากข้อ ข. ไปซึ่งท่าน้ำหนักในน้ำ

การทดสอบหาค่า Stability และ Flow

ก. นำตัวอย่างที่เสร็จจากการทดลองหาความแน่น แล้วนำไปแช่ในน้ำที่มีอุณหภูมิ 60 ± 1 องศาเซลเซียส เป็นเวลา 30 นาที ในอ่างต้มน้ำ

ข. เมื่อครบกำหนดนำตัวอย่างขึ้นจากอ่างต้มน้ำ เช็ดให้แห้งแล้วนำไปใส่ในแบบทดลอง Stability เพื่อไปกดหาค่า Stability และ Flow

ก. นำไปทดลอง Stability ที่ได้จาก ข้อข. ไปวางบนเครื่องทดสอบมาร์แซลล์ให้แบบทดลอง Stability อยู่ใต้ท่อนกอก(Piston)ซึ่งติดกับ Proving Ring สำหรับอ่านน้ำหนักกด

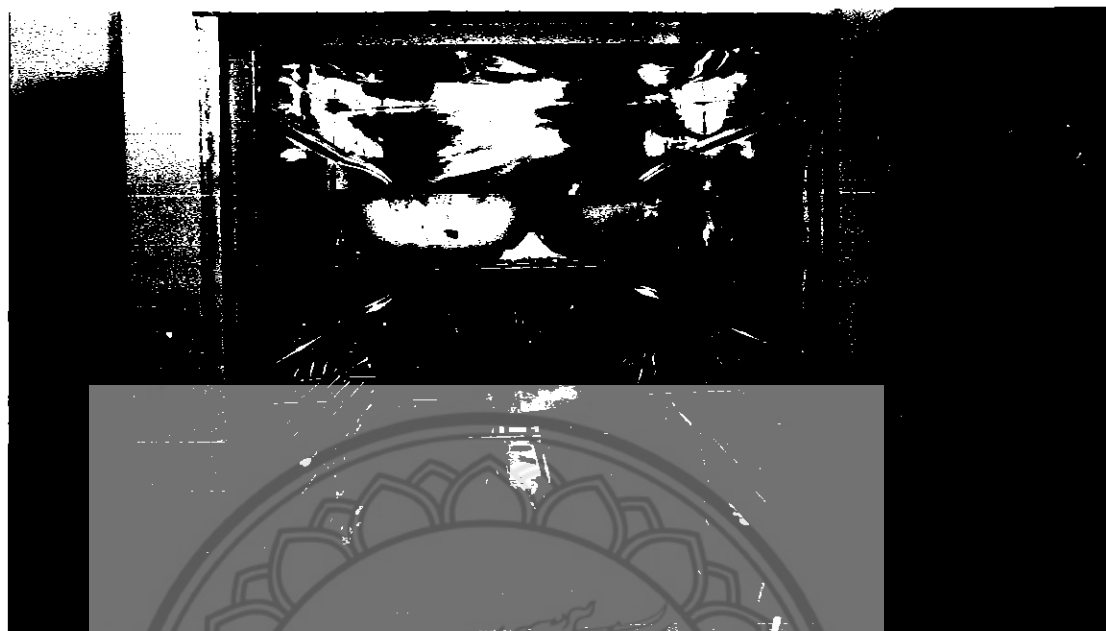
ก. เดินเครื่องให้ทดลองแบบ Stability เคลื่อนที่ไปสัมผัสถกับท่อนกอกกระหั่งเขื่มของ Proving Ring ขึ้นตัว หยุดเครื่องทำการตั้งเริ่มของ Dial Gauge ที่เลข 0

ข. นำเครื่องวัด Flow ไปวางแกนที่ใช้สำหรับทดลองหาค่า Flow ซึ่งติดกับแบบทดลอง Stability ตั้งเริ่ม Dial Gauge ของเครื่องวัด Flow ให้อยู่ที่เลข 0 ใช้มือจับเครื่องวัด Flow ให้นิ่งอยู่กันที่

ก. เดินเครื่องให้กดเพื่อทดลองหาค่า Stability โดยอ่านค่าน้ำหนักสูงสุดที่กดจาก Proving Ring เป็นค่าที่อ่านได้ (measured) ซึ่งต้องแก้ไข (Adjust) สำหรับตัวอย่างมาตรฐานที่หนา 6.35 เซนติเมตร (2.5นิ้ว)

ข. ขณะที่ทำการทดลองหาค่า Stability เป็น Dial Gauge ของเครื่องวัด Flow จะเคลื่อนที่อ่านค่า Flow จาก Dial Gauge ที่น้ำหนักก่อสูงสุด

3.5 ภาพแสดงขั้นตอนการออกแบบแอสฟอลต์คอนกรีต โดยวิธีมาร์แซลล์



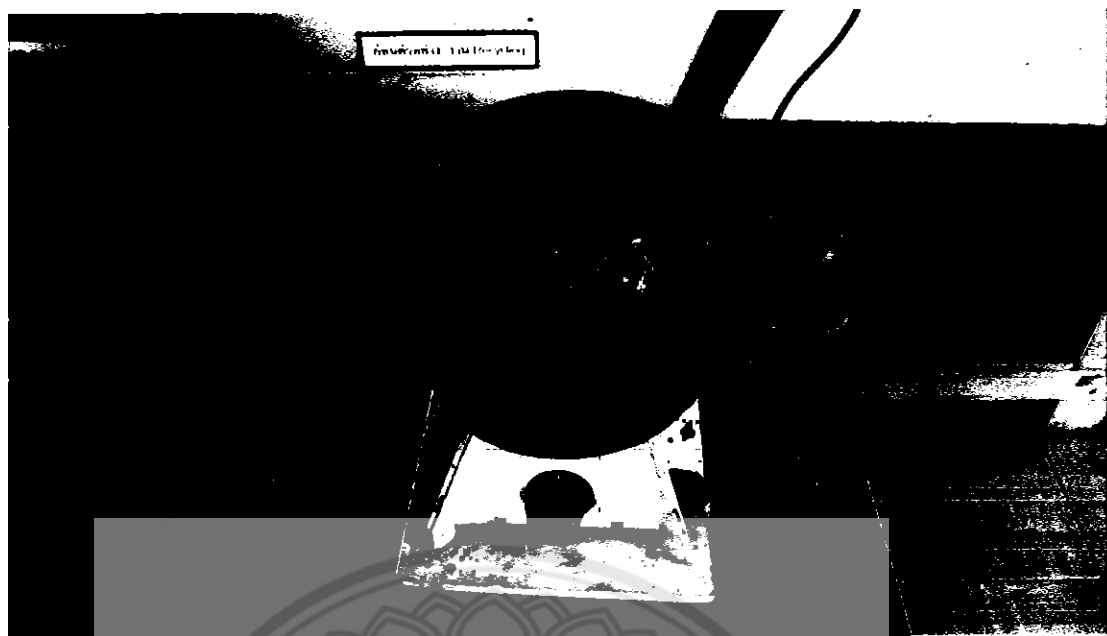
รูปที่ 3.2 การอบวัสดุม้วนรวม

นำกระดาษทึบระบุสีสุด Aggregate ใส่ในเตาอบจน Aggregate มีอุณหภูมิ 180 ± 5 องศาเซลเซียส

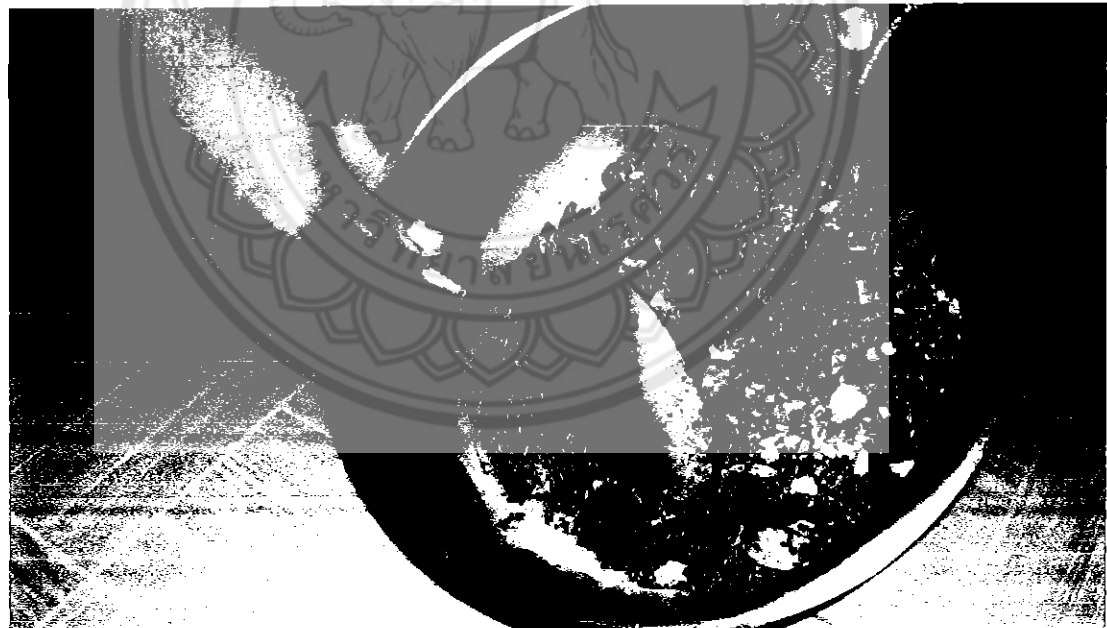


รูปที่ 3.3 การให้ความร้อนกับแบบหล่อ

นำแบบหล่ออวางบน Hot Plate ให้มีอุณหภูมิ 140 ± 5 องศาเซลเซียส



รูปที่ 3.4 การให้ความร้อนกับยางแอสฟัลต์ AC(60-70)
นำยางแอสฟัลต์ AC(60-70)วางบน Hot Plate ให้มีอุณหภูมิ 140 ± 5 องศาเซลเซียส



รูปที่ 3.5 การผสมมวลรวมกับวัสดุแอสฟัลต์ AC(60-70)
ผสมมวลรวมกับวัสดุแอสฟัลต์ AC(60-70) ในภาชนะสำหรับใช้ผสมวัสดุมวลรวม กับ
แอสฟัลต์ ใช้เกรียงคนให้ทั่ว ทิ้งไว้ให้อุณหภูมิของ Aggregate คงลงถึง 140 ± 5 องศาเซลเซียส



รูปที่ 3.6 อุปกรณ์ในการทำก้อนตัวอ่ายงแอกษาล์คอกอนกรีต



รูปที่ 3.7 การเกตัวอ่ายงที่ผสมเข้ากันแล้วลงแบบที่เครื่มนไว้



รูปที่ 3.8 การเตรียมตัวอย่างก่อนดำเนินการ
ใช้เกรียงและรอบๆตัวอย่างภายในแบบประมาณ 15 ครั้ง และแซะในตัวอย่าง 10 ครั้ง



รูปที่ 3.9 การทำก้อนตัวอย่างเมื่อสิ่ล็อกก่อนกรีด
ทำการบดหันตัวอย่างโดยการยกน้ำหนักและการปล่อยให้น้ำหนักตกลงบนแบบหล่อ
จำนวน 75 ครั้ง(การจราจรหนาแน่น)



รูปที่ 3.10 ลักษณะก้อนตัวอย่างขณะที่ขังอยู่ในแบบหล่อ
ทึ่งตัวอย่างไว้ที่อุณหภูมิห้อง 24 ชั่วโมง



รูปที่ 3.11 การคันก้อนตัวอย่างออกจากแบบหล่อ
ดันก้อนตัวอย่างออกจากแบบหลังทึ่งไว้นาน 24 ชั่วโมง ด้วยเครื่องคันก้อนตัวอย่าง

3.6 ภาพแสดงขั้นตอนการทดสอบเสถียรภาพและการไฟด์



รูปที่ 3.12 การให้ความร้อนกับก้อนตัวอย่างและพิสูจน์คุณภาพ
นำตัวอย่างที่ผ่านการทดสอบหาความหนาแน่นแล้ว แขวน้ำที่มีอุณหภูมิ 60 ± 1 องศา^{เซลเซียส} เป็นเวลา 30 นาที



รูปที่ 3.13 การทดสอบค่า Stability และค่า Flow
เช็คก่อนตัวอย่างให้แห้งแล้วนำไปทดสอบหาค่า Stability และค่า Flow

ห้องสมุดคณะวิศวกรรมศาสตร์ มหาวิทยาลัยนเรศวร

บทที่ 4
ผลการศึกษา

ในบทนี้เป็นการแสดงผลที่ได้จากการทดลองตามที่ได้กล่าวมาแล้วในบทที่ 3 เพื่อนำมาศึกษาอุณหภูมิของโครงสร้างชั้นผิวทางแอสฟัลต์คอนกรีต โดยวิธีมาร์แซลล์

4.1 ค่าความถ่วงจำเพาะ และการคุณค่าเฉลี่ยของวัสดุมวลรวม (Aggregates)

ค่าความถ่วงจำเพาะและการคุณค่าเฉลี่ยของวัสดุมวลรวม (Aggregates) ที่นำมาทดสอบได้แสดงไว้ในตารางที่ 4.2 ซึ่งรายละเอียดของการคำนวณได้ให้ไว้ในภาคผนวก

ตารางที่ 4.1 แสดงค่าความถ่วงจำเพาะ และการคุณค่าเฉลี่ยของวัสดุมวลรวม(Aggregates) ของหินฝุ่น และหินขนาด $\frac{3}{8}$ นิ้ว, $\frac{1}{2}$ นิ้ว, $\frac{3}{4}$ นิ้ว

ขนาดหิน คุณสมบัติของหิน	หินฝุ่น	$\frac{3}{8}$ นิ้ว	$\frac{1}{2}$ นิ้ว	$\frac{3}{4}$ นิ้ว
ค่าความถ่วงจำเพาะ	2.678	2.704	2.781	2.723
เปอร์เซนต์การคุณค่า	0.96	0.76	0.18	0.40

4.2 ค่าความถ่วงจำเพาะ และการคุณค่าเฉลี่ยของยางแอสฟัลต์ AC(60/70)

ค่าความถ่วงจำเพาะ และการคุณค่าเฉลี่ยของยางแอสฟัลต์ AC(60/70) ที่กำหนดมาพร้อมกับยางแอสฟัลต์ AC(60/70) จากบริษัททิปโก้แอสฟัลต์ อ.ศรีราชา จ.ชลบุรี ได้แสดงไว้ในตารางที่ 4.2

ตารางที่ 4.2 แสดงค่าความถ่วงจำเพาะ และการคุณค่าเฉลี่ยของยางแอสฟัลต์ AC(60/70)

คุณสมบัติของยางแอสฟัลต์ AC(60/70)	ยางแอสฟัลต์ AC(60/70)
ค่าความถ่วงจำเพาะ	1.02
เปอร์เซนต์การคุณค่า	0.25

155/9263

2/5.

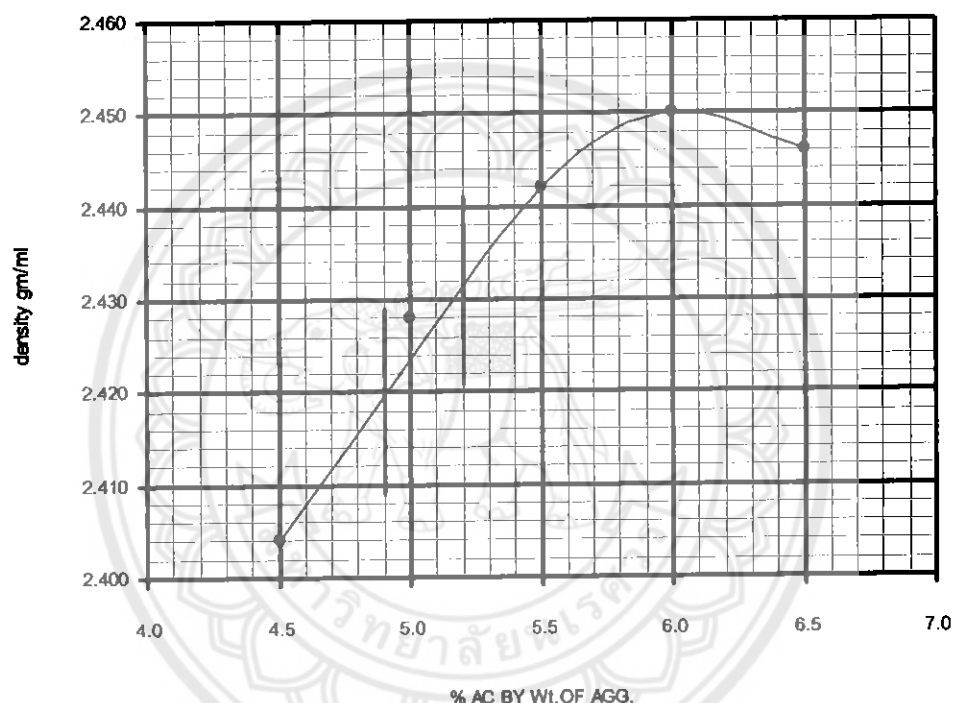
26229 01

2553

4.3 การทดสอบความหนาแน่น

ผลที่ได้จากการทดสอบความหนาแน่นของแอสฟัลต์คอนกรีต สามารถนำมาใช้แสดงความสัมพันธ์ของค่าความหนาแน่นของแอสฟัลต์คอนกรีต ที่มีค่าของเปอร์เซ็นต์ของแอสฟัลต์ AC (60/70) ที่เปลี่ยนไป คือ ที่ 4.5, 5.0 , 5.5, 6.0 และ 6.5 %

4.3.1 ความสัมพันธ์ระหว่างค่าความหนาแน่น กับค่าปริมาณยางแอสฟัลต์ AC (60/70) โดยน้ำหนัก



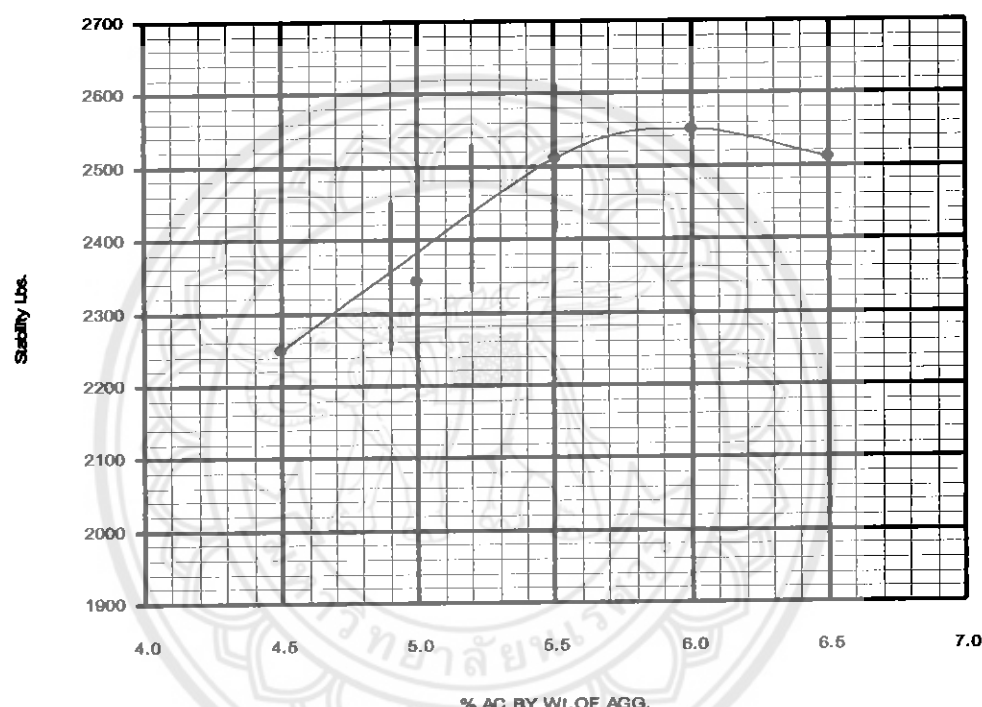
รูปที่ 4.1 แสดงความสัมพันธ์ระหว่างค่าความหนาแน่น กับค่าปริมาณยางแอสฟัลต์ AC (60/70) โดยน้ำหนัก

จากความสัมพันธ์ระหว่างค่าความหนาแน่น กับค่าปริมาณยางแอสฟัลต์ AC (60/70) โดยน้ำหนักพบว่า ปริมาณยางแอสฟัลต์โดยน้ำหนักมีผลต่อค่าความหนาแน่น(Density) เมื่อเพิ่มปริมาณยางแอสฟัลต์ AC(60/70) ค่าความหนาแน่น(Density) ก็จะมีค่าสูงขึ้น แต่เมื่อเพิ่มปริมาณยางแอสฟัลต์AC(60/70)ถึงจุดๆหนึ่ง ค่าความหนาแน่น(Density) จะลดลง นั้นแสดงว่า ปริมาณยางแอสฟัลต์AC(60/70) ที่เราจะเลือกพิจารณาออกแบบมีค่าอยู่ทางด้านซ้ายของกราฟ เพราะการออกแบบโครงสร้างชั้นผิวทางแอสฟัลต์คอนกรีตที่ดีไม่ควรออกแบบให้มีค่าความหนาแน่นมากเกินไป เพราะจะทำให้ผิวทางเกิดความเสียหาย แตกกร้าว

4.4 การทดสอบความเสถียรภาพของแอสฟัลต์คอนกรีต

ผลที่ได้จากการทดสอบความเสถียรภาพของแอสฟัลต์คอนกรีต สามารถนำมาใช้แสดงความสัมพันธ์ของค่าความเสถียรภาพของแอสฟัลต์คอนกรีต ที่มีค่าของเบอร์เซ็นต์บางแอสฟัลต์ AC (60/70) ที่เปลี่ยนไป คือ ที่ 4.5, 5.0 , 5.5, 6.0 และ 6.5 %

4.4.1 ความสัมพันธ์ระหว่างค่าความเสถียรภาพ กับค่าปริมาณยางแอสฟัลต์ AC (60/70) โดยน้ำหนัก



รูปที่ 4.2 แสดงความสัมพันธ์ระหว่างค่าความเสถียรภาพ กับค่าปริมาณยางแอสฟัลต์ AC (60/70) โดยน้ำหนัก

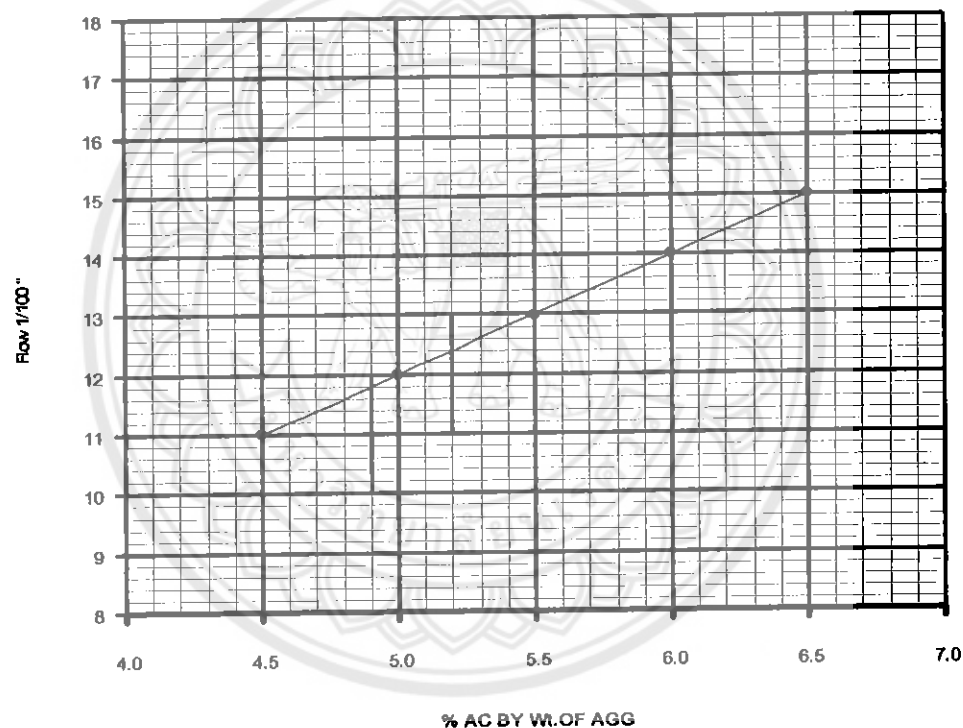
จากความสัมพันธ์ระหว่าง ค่าความเสถียรภาพ กับค่าปริมาณยางแอสฟัลต์ AC (60/70) โดยน้ำหนัก พบว่าปริมาณยางแอสฟัลต์โดยน้ำหนักมีผลต่อค่าความเสถียรภาพ (Stability) เมื่อเพิ่มปริมาณยางแอสฟัลต์AC(60/70) ค่าความเสถียรภาพ(Stability)ก็จะมีค่าสูงขึ้น แต่ เมื่อเพิ่มปริมาณยางแอสฟัลต์AC(60/70) จนถึงจุดๆหนึ่ง ค่าความเสถียรภาพ(Stability) จะลดลง นั่นแสดงว่า การเพิ่มปริมาณยางแอสฟัลต์AC(60/70) จะทำให้อุ伽คของมวลรวมมีค่าแรงดึงดูดเพิ่มขึ้นส่งผลให้ความสามารถในการรับน้ำหนักบรรทุก(Stability) เพิ่มขึ้นด้วย หากเพิ่มปริมาณยางแอสฟัลต์AC(60/70) จนถึงค่าก่อหนี้ จะทำให้แอสฟัลต์ที่เคลือบอนุภาคของมวลรวมหนาเกินไป เป็นผลให้ความเสียดทานระหว่างอนุภาคของมวลรวมมีค่าลดลง จึงทำให้เสถียรภาพของส่วนผสม

แอสฟัลต์คอนกรีตคล่องด้วย ซึ่งการใช้ปริมาณยางแอสฟัลต์ AC(60/70) ที่สูงเกินไปจะเป็นสาเหตุหนึ่งของการเกิดกืนจุกกระนาด เกิดร่องล้อ หรือทำให้แอสฟัลต์หลักปืนมานผิวน้ำดัน

4.5 การทดสอบค่าการไหลของแอสฟัลต์คอนกรีต

ผลที่ได้จากการทดสอบค่าการไหลของแอสฟัลต์คอนกรีต สามารถนำมาใช้แสดงความสัมพันธ์ของค่าการไหลของแอสฟัลต์คอนกรีตที่มีค่าของเปอร์เซ็นต์ยางแอสฟัลต์ AC (60/70) ที่เปลี่ยนไปคือที่ 4.5, 5.0 , 5.5, 6.0 และ 6.5 %

4.5.1 ความสัมพันธ์ระหว่างค่าการไหล กับค่าปริมาณยางแอสฟัลต์ AC (60/70)

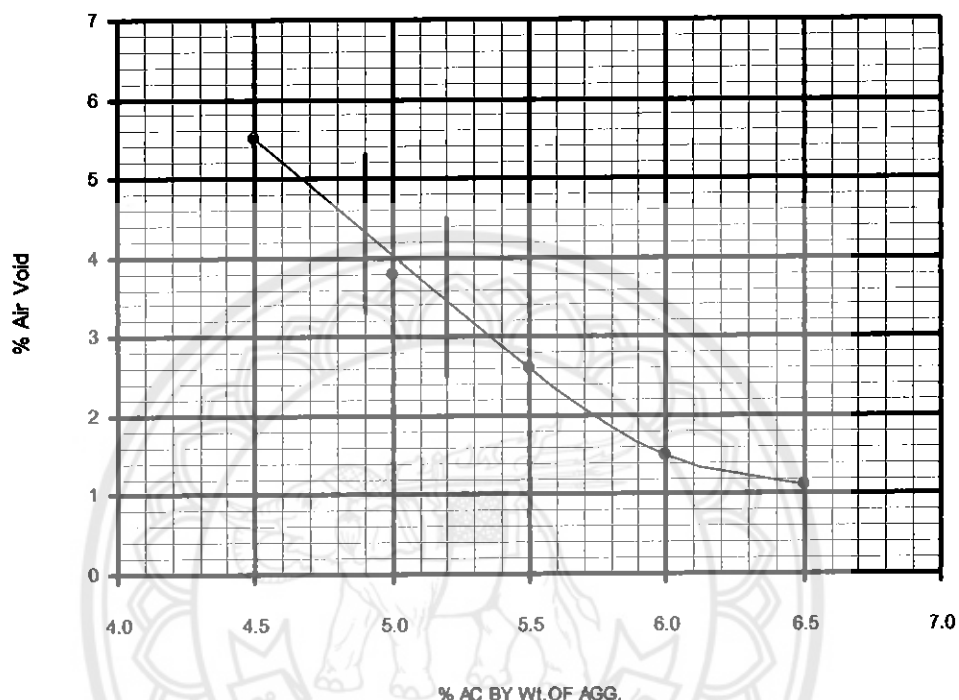


รูปที่ 4.3 แสดงความสัมพันธ์ระหว่างค่าการไหล กับค่าปริมาณยางแอสฟัลต์ AC (60/70)
โดยน้ำหนัก

จากความสัมพันธ์ระหว่างค่าการไหล กับค่าปริมาณยางแอสฟัลต์ AC (60/70) โดยน้ำหนักพบว่า ค่า Flow จะสูงขึ้นตามปริมาณยางที่เพิ่มขึ้น แสดงว่าหากออกแบบส่วนผสมของแอสฟัลต์คอนกรีตให้มีปริมาณยางมาก แอสฟัลต์คอนกรีตที่ได้ก็จะมีความสามารถในการไหลสูง

4.6 ผลการทดสอบแอสฟล็อกตอนกรีตที่ได้จากการคำนวณ

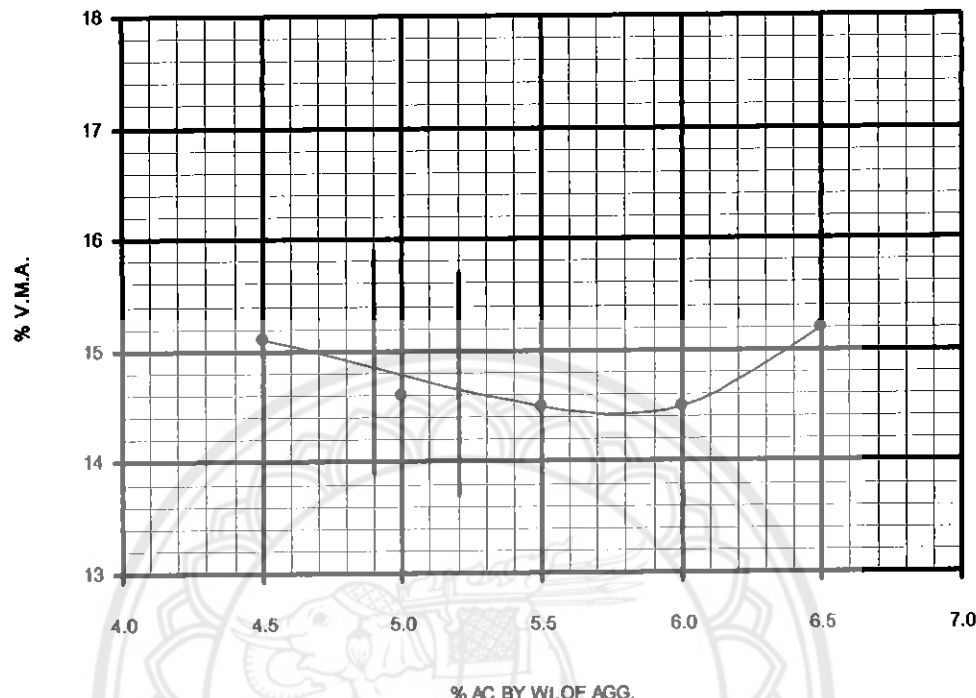
4.6.1 ความสัมพันธ์ระหว่างค่าร้อยละของช่องว่างอากาศ กับค่าปริมาณยางแอสฟล็อก AC (60/70) โดยน้ำหนัก



รูปที่ 4.4 แสดงความสัมพันธ์ระหว่างค่าร้อยละของช่องว่างอากาศ กับค่าปริมาณยาง
แอสฟล็อก AC (60/70) โดยน้ำหนัก

จากความสัมพันธ์ระหว่างค่าร้อยละของช่องว่างอากาศ กับค่าปริมาณยางแอสฟล็อก AC (60/70) โดยน้ำหนักพบว่า ค่า % Air Void กับค่าปริมาณยางแอสฟล็อก AC (60/70) โดยน้ำหนัก จะเปรียบผันกัน การออกแบบในที่นี้ เรายังใช้ปริมาณยางแอสฟล็อก AC (60/70) ที่ 5% AC โดยน้ำหนัก ได้ค่าร้อยละของช่องว่างอากาศ (% Air Void) เท่ากับ 3.8 เมื่อจากช่องว่างอากาศ (Air Void) ของแอสฟล็อกตอนกรีต หมายถึง ช่องว่างเล็กๆ ที่อยู่ระหว่างอนุภาคของมวลรวมที่เคลือบด้วยแอสฟล็อก ทำหน้าที่รองรับแอสฟล็อกที่ขยายตัวเมื่ออุณหภูมิสูงขึ้น ผิวทางแอสฟล็อกตอนกรีตที่ได้รับการบดอัดแล้วจะต้องมีช่องว่างอากาศที่เพียงพอ สำหรับผิวทางชั้นบนสุดจะออกแบบให้มีช่องว่างอากาศประมาณร้อยละ 3 – 5 ซึ่งกับปริมาณน้ำหนักของยางพาหนะที่แล่นบนผิวทาง ถ้าปริมาณช่องว่างอากาศของผิวทางแอสฟล็อกตอนกรีตที่ก่อสร้างเสร็จใหม่ไม่เพียงพอ จะทำให้แอสฟล็อกหลักชั้นманบผิวหน้าของถนน

4.6.2 ความสัมพันธ์ระหว่างค่าร้อยละของช่องว่างระหว่างอนุภาคของมวลรวม กับค่าปริมาณยางแอสฟัลต์ AC (60/70) โดยน้ำหนัก



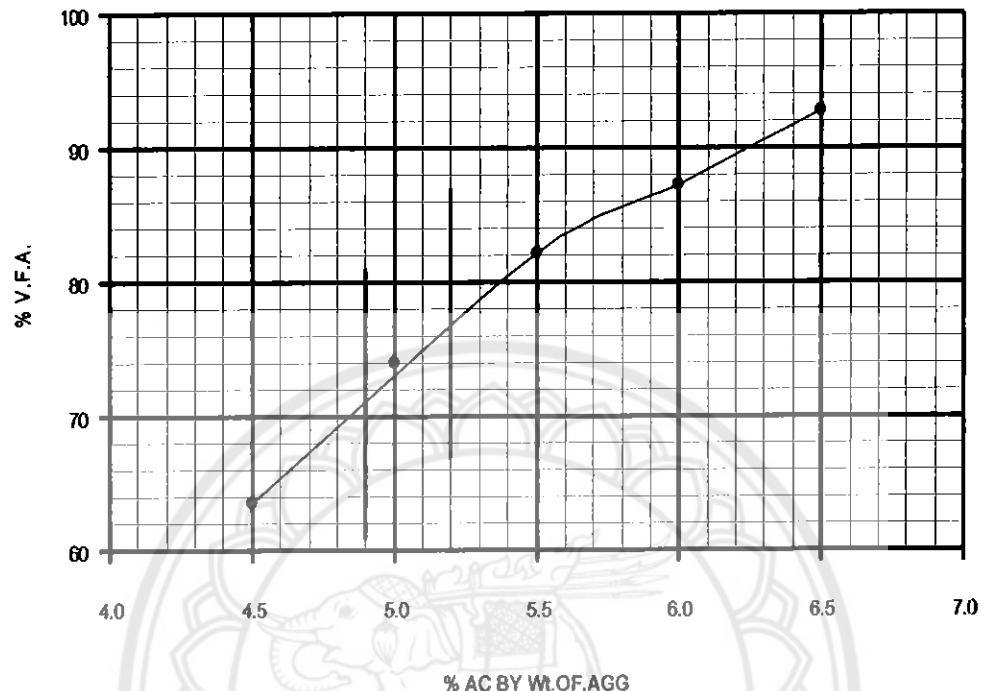
รูปที่ 4.5 แสดงความสัมพันธ์ระหว่างค่าร้อยละของช่องว่างระหว่างอนุภาคของมวลรวม กับค่าปริมาณยางแอสฟัลต์ AC (60/70) โดยน้ำหนัก

จากความสัมพันธ์ระหว่างค่าร้อยละของช่องว่างระหว่างอนุภาคของมวลรวม กับค่าปริมาณยางแอสฟัลต์ AC (60/70) โดยน้ำหนัก พบว่า ราบที่ได้มีลักษณะเป็นรูปตัวยู มีค่าลดลงจนถึงค่าต่ำสุดแล้วจึงมีค่าเพิ่มขึ้นเมื่อปริมาณยางแอสฟัลต์มากขึ้นเรื่อยๆ ดังแสดงในรูปที่ 4.5.
เนื่องจาก ปริมาตรห้องทดลองส่วนผสมจะมีค่าเปลี่ยนแปลงเมื่อปริมาณยางแอสฟัลต์มีค่าเปลี่ยนไป

เมื่อปริมาณยางแอสฟัลต์เพิ่มค่าขึ้น ค่า V.M.A. ก็จะเริ่มเพิ่มค่าขึ้นด้วย เพราะว่า มวลรวมจะถูกแทนที่และถูกผลักให้ออนุภาคแต่ละก้อนห่างออกจากกันด้วย ใน การออกแบบยางแอสฟัลต์ก่อกริท จึงไม่ควรใช้ปริมาณยางแอสฟัลต์ในช่วงที่เพิ่มค่าขึ้นทางด้านขวา เพราะจะมีแนวโน้มว่า ส่วนผสมที่ได้จะเป็นส่วนผสมที่เย็น ก่อให้เกิดร่องล้อและคลื่นบนผิวทาง

การออกแบบในที่นี้จึงใช้ปริมาณยางที่ 5%AC โดยน้ำหนัก ได้ % V.M.A. เท่ากับ 14.6 ซึ่ง ต้องว่าไม่มากและไม่น้อยจนเกินไป

4.6.3 ความสัมพันธ์ระหว่างค่าร้อยละของช่องว่างที่ถูกแทนที่ด้วยยาง AC(60/70) กับค่าปริมาณยางแอสฟัลต์ AC (60/70) โดยน้ำหนัก



รูปที่ 4.6 แสดงความสัมพันธ์ระหว่างค่าร้อยละของช่องว่างที่ถูกแทนที่ด้วยยาง AC(60/70) กับค่าปริมาณยางแอสฟัลต์ AC (60/70) โดยน้ำหนัก

จากการแสดงความสัมพันธ์ระหว่างค่าร้อยละของช่องว่างที่ถูกแทนที่ด้วยยาง AC(60/70) กับค่าปริมาณยางแอสฟัลต์ AC (60/70) โดยน้ำหนัก พบว่า %VMA มีค่ามากขึ้นตามปริมาณยางที่เพิ่มสูงขึ้น แสดงว่า การเพิ่มปริมาณยางในส่วนผสมของแอสฟัลต์คอนกรีต มีผลทำให้ปริมาณยางแอสฟัลต์ที่อยู่ระหว่างอนุภาคของมวลรวมเพิ่มขึ้น

อย่างไรก็ตาม ค่า VFA จะช่วยเพิ่มองค์ประกอบด้านความปลอดภัยต่อกระบวนการของการถอกแบบและการก่อสร้างในเชิงของสมรรถภาพ

บทที่ 5

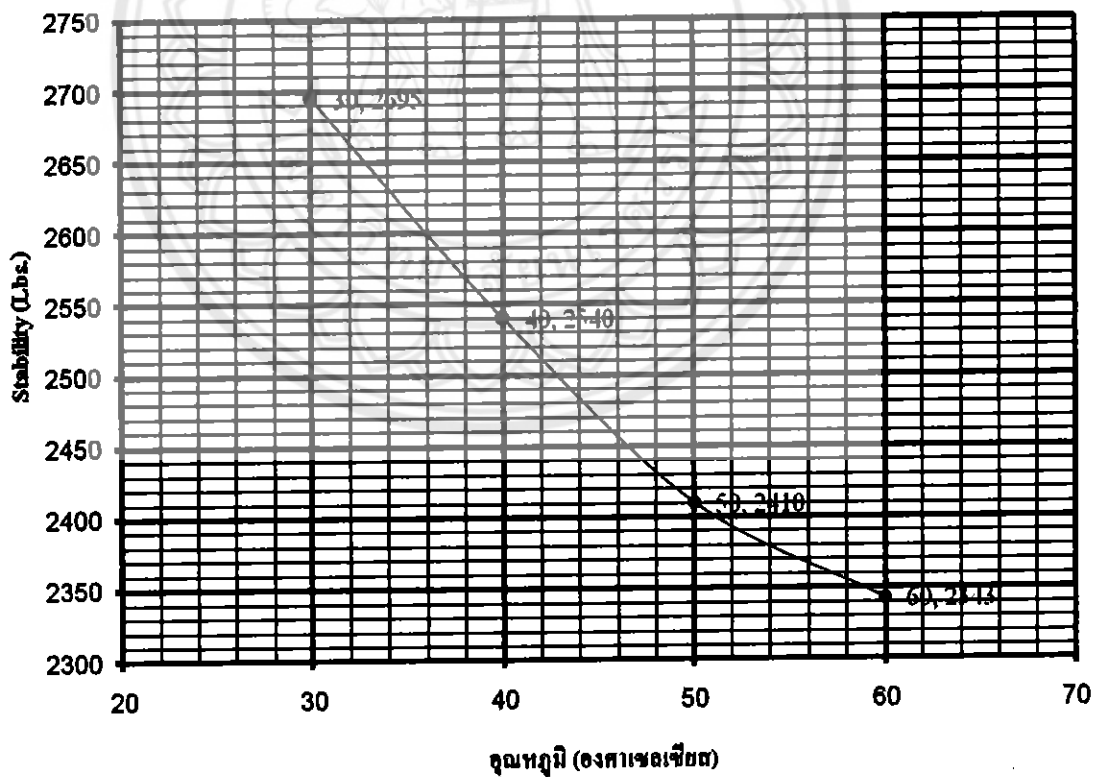
บทสรุปและข้อเสนอแนะ

ในบทนี้กล่าวถึง ผลกระทบของอุณหภูมิที่มีต่อค่าเสถียรภาพ(Stability) และค่าการไหล (Flow) ของแอสฟัลต์คอนกรีต และ ได้เปรียบเทียบความสัมพันธ์ของอุณหภูมิ กับค่าเสถียรภาพ (Stability) และค่าการไหล(Flow) ระหว่าง Asphalt Concrete และ Recycling Asphalt Concrete

5.1 บทสรุป

จากผลสอบค่าเสถียรภาพ(Stability) และค่าการไหล(Flow) ของแอสฟัลต์คอนกรีต ที่อุณหภูมิ 30, 40, 50 และ 60 องศา โดยใช้ปริมาณยางแอสฟัลต์ AC (60/70) ที่ 5 % โดยน้ำหนัก ได้ทราบ ความสัมพันธ์ดังนี้

5.1.1 ความสัมพันธ์ระหว่างอุณหภูมิ กับค่าเสถียรภาพ(Stability)



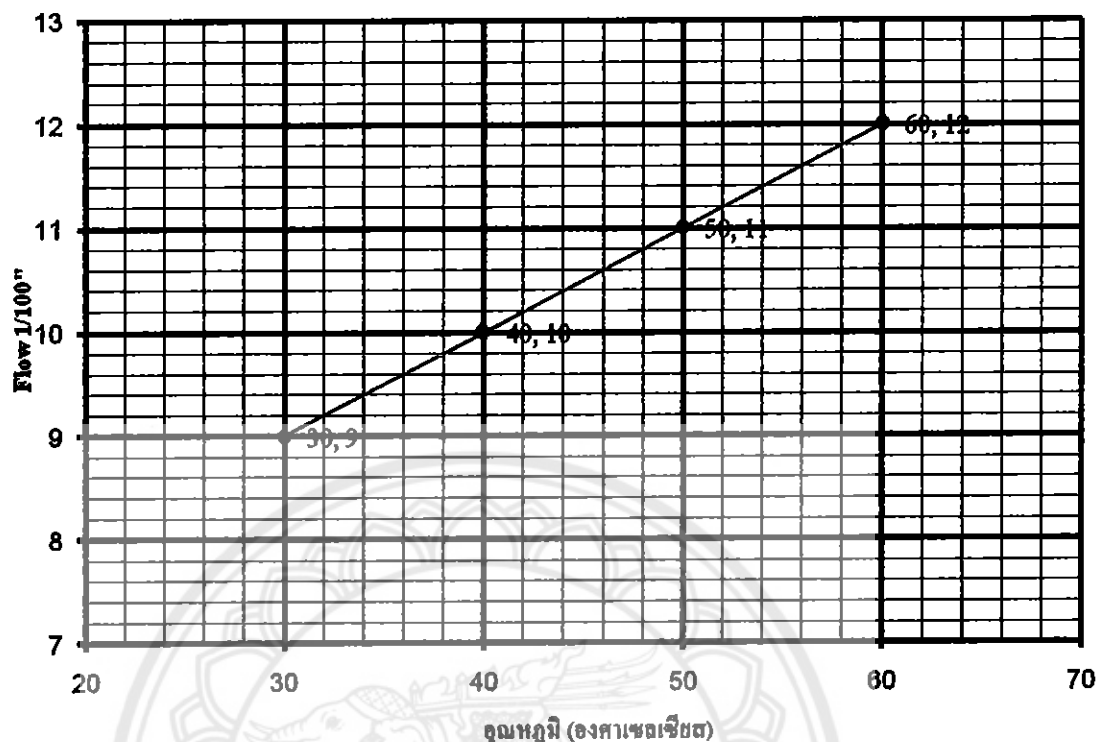
รูปที่ 5.1 ความสัมพันธ์ระหว่างอุณหภูมิ กับค่าเสถียรภาพ(Stability)

ตารางที่ 5.1 ตารางสรุปความสัมพันธ์ระหว่างค่าเสถียรภาพ กับอุณหภูมิที่เปลี่ยนไป

อุณหภูมิ	ค่าเสถียรภาพ (Lbs.)	ค่าเสถียรภาพที่เปลี่ยนไป (Lbs.)	%ค่าเสถียรภาพที่เปลี่ยนไป	%ค่าเสถียรภาพที่เปลี่ยนไปต่อการเปลี่ยนแปลงอุณหภูมิ 1 องศาเซลเซียส
30	2,695			
		155	5.75	0.58
40	2,540			
		130	5.12	0.51
50	2,410			
		67	2.78	0.27
60	2,343			

จากการวิเคราะห์ความสัมพันธ์ระหว่างอุณหภูมิ กับค่าเสถียรภาพ (Stability) พบว่า เมื่ออุณหภูมิสูงขึ้น ค่าเสถียรภาพจะลดลง คือ ที่อุณหภูมิ 30, 40, 50 และ 60 องศา ค่าเสถียรภาพมีค่าเป็น 2,695, 2,540, 2,410 และ 2,343 Lbs. ตามลำดับ ค่าเสถียรภาพที่เปลี่ยนไปของแต่ละช่วงอุณหภูมิก็คือเป็น 5.75%, 5.12% และ 2.78% ของการเปลี่ยนแปลงของค่าเสถียรภาพทั้งหมด เปอร์เซ็นต์ค่าเสถียรภาพที่เปลี่ยนไปต่อการเปลี่ยนแปลงอุณหภูมิ 1 องศาเซลเซียสคิดเป็น 0.45% (11.73 Lbs.) แสดงว่า อุณหภูมิที่สูงขึ้นทำให้แอสฟัลต์ที่เคลื่อนอนุภาคของมวลรวมเหลวขึ้น ทำให้ความสามารถในการยึดเกาะกันของอนุภาคของมวลรวมลดลง ส่งผลให้ความสามารถในการรับน้ำหนักบรรทุก (Stability) ลดลง

5.1.2 ความสัมพันธ์ระหว่างอุณหภูมิ กับค่าการไหล(Flow)



รูปที่ 5.2 ความสัมพันธ์ระหว่างอุณหภูมิ กับค่าการไหล(Flow)

ตารางที่ 5.2 ตารางสรุปความสัมพันธ์ระหว่างค่าการไหล กับอุณหภูมิที่เปลี่ยนไป

อุณหภูมิ	ค่าการไหล (1/100"Flow)	ค่าการไหลที่ เปลี่ยนไป (1/100" Flow)	%ค่าการไหลที่ เปลี่ยนไป	%ค่าการไหลที่ เปลี่ยนไปต่อการ เปลี่ยนแปลงอุณหภูมิ 1 องศาเซลเซียส
30	9	1	10	1
40	10	1	9.09	0.91
50	11	1	8.33	0.83
60	12			

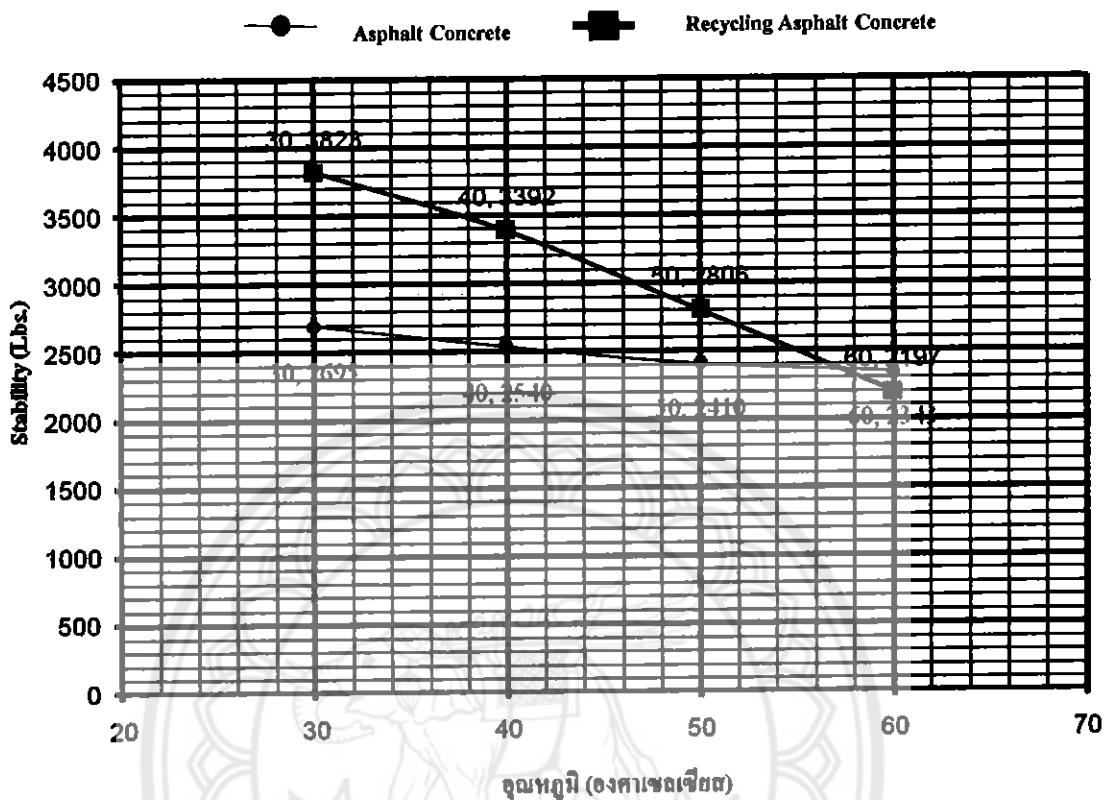
จากความสัมพันธ์ระหว่างอุณหภูมิ กับค่าความสามารถในการไหล (Flow) พบว่า ที่ อุณหภูมิ 30, 40, 50 และ 60 องศา ค่าการไหลมีค่าเป็น 9, 10, 11 และ $1/(1/100'' \text{ Flow})$ ตามลำดับ ค่าการไหลที่เปลี่ยนไปของแต่ละช่วงอุณหภูมิก็คือเป็น 10%, 9.09% และ 8.33% ของ การเปลี่ยนแปลงของค่าเสถียรภาพทั้งหมด เปอร์เซ็นต์ค่าการไหลที่เปลี่ยนไปต่อการ เปลี่ยนแปลงอุณหภูมิ 1 องศาเซลเซียส คิดเป็น $0.91\% (0.1/(1/100'' \text{ Flow}))$ แสดงว่าเมื่ออุณหภูมิสูงขึ้น ค่าความสามารถในการไหลก็จะเพิ่มขึ้น อาจเป็นไปได้ว่า อุณหภูมิที่สูงขึ้นทำให้แอสฟลิตที่เคลือบอนุภาคของมวลรวมเหลวขึ้น ทำให้ความสามารถในการขัดเกะกันของ อนุภาคของมวลรวมลดลง เมื่อได้รับน้ำหนักบรรทุก แอสฟลิตค่อนกรีทึงเกิดการถีนได้ ง่าย เมื่อong จำกัดความสามารถในการไหลสูง

ตามมาตรฐานของกรมทางหลวง ในการทดสอบค่าการไหล กำหนดให้ต้องมีค่าอยู่ ระหว่าง $8 - 14 (1/100'' \text{ Flow})$ และสีลต์ค่อนกรีที่ออกแบบเบื้องหน้าไปใช้งานได้ แสดงว่า แอสฟลิตค่อนกรีที่ออกแบบ สามารถนำไปใช้งานได้จริงกับพื้นที่ที่มีอุณหภูมิอยู่ระหว่าง

30 – 60 องศา



5.1.3 ความสัมพันธ์ระหว่างอุณหภูมิ กับค่าเสถียรภาพ(Stability) ของ Asphalt Concrete และ Recycling Asphalt Concrete



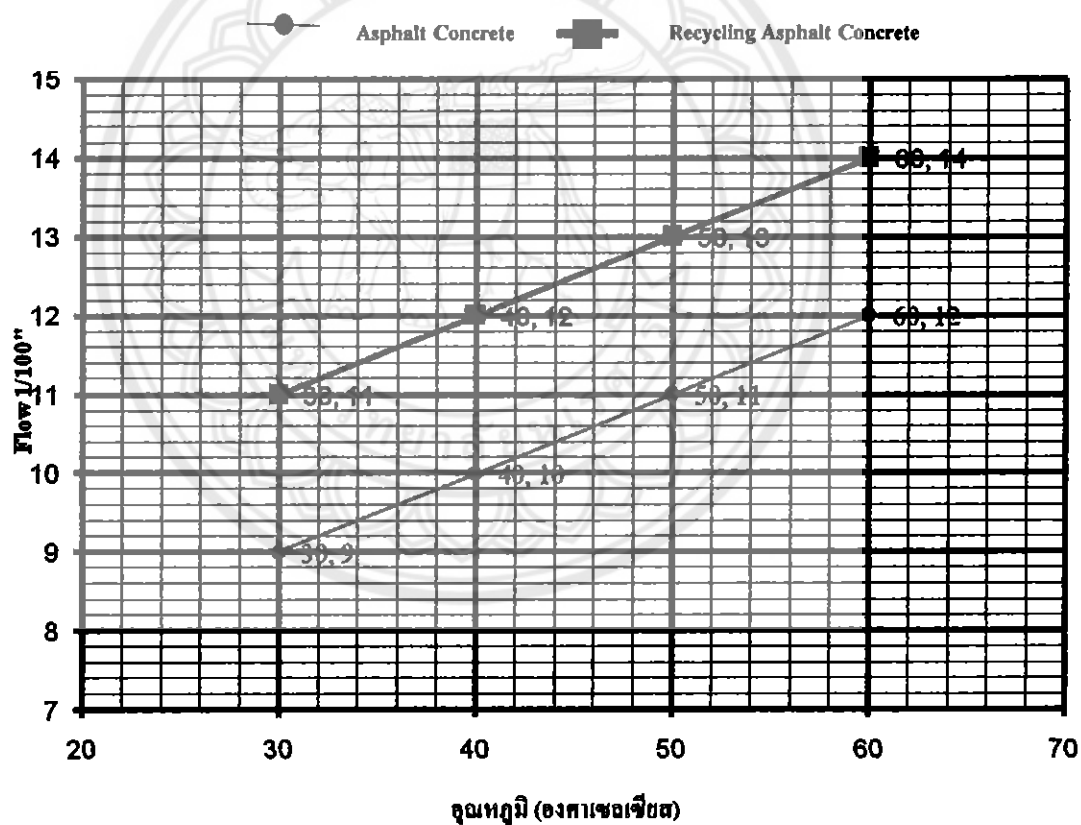
รูปที่ 5.3 ความสัมพันธ์ระหว่างอุณหภูมิกับค่าเสถียรภาพ(Stability) ของ Asphalt Concrete และ Recycling Asphalt Concrete

ตารางที่ 5.3 ตารางสรุปความสัมพันธ์ระหว่างอุณหภูมิกับค่าเสถียรภาพ(Stability) ของ Asphalt Concrete และ Recycling Asphalt Concrete

อุณหภูมิ	ค่าเสถียรภาพของ Asphalt Concrete (Lbs.)	%ค่าเสถียรภาพที่เปลี่ยนไป	ค่าเสถียรภาพของ Recycling Asphalt Concrete (Lbs.)	%ค่าเสถียรภาพที่เปลี่ยนไป
30	2,695		3,823	
40	2,540	5.75	3,392	11.27
50	2,410	5.12	2,806	17.28
60	2,343	2.78	2,197	21.70

จากความสัมพันธ์ระหว่างอุณหภูมิ กับค่าเสถีบรภาพ(Stability) ของ Asphalt Concrete และRecycling Asphalt Concrete พบว่า เปอร์เซนต์ค่าเสถีบรภาพที่เปลี่ยนไปของ Recycling Asphalt Concrete มีค่าเพิ่มขึ้นตามอุณหภูมิที่สูงขึ้น แต่ในทางกลับกันหากอุณหภูมิสูงขึ้น เปอร์เซนต์ค่าเสถีบรภาพที่เปลี่ยนไปของAsphalt Concrete จะมีค่าลดลง แสดงว่า Slope ความลาดชันของ Recycling Asphalt Concrete มากกว่า Asphalt Concrete อุณหภูมิช่วง 30 – 57 องศา ค่าเสถีบรภาพของ Recycling Asphalt Concrete มากกว่า Asphalt Concrete เมื่ออุณหภูมิสูงกว่า 57 องศา ค่าเสถีบรภาพของ Recycling Asphalt Concrete น้อยกว่า Asphalt Concrete

5.1.4 ความสัมพันธ์ระหว่างอุณหภูมิ กับค่าการไหล(Flow) ของ Asphalt Concrete และ Recycling Asphalt Concrete



รูปที่ 5.4 ความสัมพันธ์ระหว่างอุณหภูมิ กับค่าการไหล(Flow) ของ Asphalt Concrete และ Recycling Asphalt Concrete

ตารางที่ 5.4 ตารางสรุปความสัมพันธ์ระหว่างอุณหภูมิ กับค่าการไหล(Flow) ของ Asphalt Concrete และ Recycling Asphalt Concrete

อุณหภูมิ	ค่าการไหลของ Asphalt Concrete (1/100" Flow)	%ค่าการไหลที่เปลี่ยนไป	ค่าการไหลของ Recycling Asphalt Concrete (1/100" Flow)	%ค่าการไหลที่เปลี่ยนไป
30	9		11	
40	10	10	12	8.33
50	11	9.09	13	7.69
60	12	8.33	14	7.14

จากความสัมพันธ์ระหว่างอุณหภูมิ กับค่าการไหล(Flow)ของ Asphalt Concrete และ Recycling Asphalt Concrete พบว่าหากอุณหภูมิสูงขึ้น เปอร์เซนต์ค่าการไหลที่เปลี่ยนไปจะมีค่าลดลงเหมือนกัน และคงว่า Asphalt Concrete และ Recycling Asphalt Concrete มี Slope ความลาดชันเท่ากัน แต่ค่าการไหลของ Recycling Asphalt Concrete มากกว่า Asphalt Concrete

Recycling Asphalt Concrete เป็นการนำ Asphalt Concrete ที่มีอยู่เดิมกลับมาใช้ใหม่ จึงมีความทนทานต่ออุณหภูมน้อยกว่า เมื่อเปรียบเทียบกับ Recycling Asphalt Concrete จะมีอายุการใช้งานน้อยกว่า Asphalt Concrete

5.2 ข้อเสนอแนะ

- 5.2.1. การออกแบบแอสฟัลต์คอนกรีตที่ให้สามารถนำไปใช้งานได้จริง
- 5.2.2. ควรทำการทดสอบค่า คุณสมบัติค้านความแข็งแรงและความถึก

บรรณานุกรม

วัชรินทร์ วิทยกุล. การออกแบบแฟลต์คอนกรีตชนิดผสมร้อนวิธีนาร์แซลต์. พิมพ์ครั้งที่ 1
กรุงเทพมหานคร: มหาวิทยาลัยเกษตรศาสตร์, 2544.

กรมทางหลวง. รายละเอียดและข้อกำหนดการก่อสร้างทางหลวง. กรุงเทพมหานคร:
กรมทางหลวง, 2535.

สำนักวิเคราะห์วิจัยและพัฒนางานทาง กรมทางหลวง. มาตรฐานวิธีการทดสอบ. กรุงเทพมหานคร:
กรมทางหลวง, 2541.

เมธิ บุญเลิ่งอุปถัมภ์ และ ฉัตรชัย ชูพานิช. คู่มือการทดสอบทรัพย์ทิน และคอนกรีต. พิมพ์ครั้งที่ 1
กรุงเทพมหานคร: 2541.





ภาคผนวก ก

การหาค่าความถ่วงจำเพาะ เปอร์เซ็นต์การดูดซึม

(Specific Gravity and Absorption)

วัตถุประสงค์

การทดสอบนี้มีวัตถุประสงค์เพื่อหาค่าความถ่วงจำเพาะ(Specific Gravity) และค่าการดูดซึมน้ำ(Absorption)ของมวลรวมค่าความถ่วงจำเพาะนี้ประยุกต์ในการหาค่าปริมาณส่วนผสม วัสดุ มวลรวมละเอียด และ วัสดุมวลรวมหยาบในแอสฟัลต์คอนกรีต

เอกสารอ้างอิง

- 1.มาตรฐาน ทล. – ท. 207/2517
- 2.มาตรฐาน ทล. – ท. 207/2518

ทฤษฎี

1. ความถ่วงจำเพาะ(Specific Gravity)

หมายถึงอัตราส่วนของน้ำหนักมวลรวมในอากาศเทียบกับน้ำหนักของน้ำที่มีปริมาตรเท่ากันที่อุณหภูมิเดียวกัน ความถ่วงจำเพาะของหินขี้นอยู่กับค่าความถ่วงจำเพาะของแร่ธาตุที่เป็นส่วนประกอบของมวลรวมและปริมาณช่องว่างของมวลรวม โดยทั่วไปมีค่าอยู่ในช่วง 2.4-3 ความถ่วงจำเพาะแบ่งออกเป็น หลายประเภท ดังนี้

1.1 ความถ่วงจำเพาะสัมบูรณ์(Absolute Specific Gravity)หมายถึงอัตราส่วนของน้ำหนักมวลรวมในอากาศของมวลรวม เทียบไม่ร่วงช่องว่างในมวลรวม ทั้งที่เป็นช่องว่างชนิดที่น้ำซึมผ่านเข้าได้(Capillary pores)และช่องว่างชนิดที่น้ำซึมผ่านเข้าไม่ได้(Impermeable pores)ณ อุณหภูมิเดียวกัน ดังนี้ใน การหาค่าดังกล่าวจะต้องทำการบดวัสดุให้ละเอียดก่อน เพื่อป้องกันการนำช่องว่างชนิดที่น้ำซึมผ่านเข้าไม่ได้(Impermeable pores)มาคิดแต่การหาโดยวิธีดังกล่าว มีความละเอียดเกินไปในงานคอนกรีต ดังนี้ในงานคอนกรีตทั่วไปจึงต้องวัด ช่องว่างในมวลรวมนี้เป็นแบบช่องว่างชนิดที่น้ำซึมผ่านเข้าไม่ได้(Impermeable pores)นั้นดือว่าเป็นส่วนหนึ่งของมวลรวม ที่จะกล่าวต่อไปสำหรับการทดสอบนี้คือช่องว่างชนิดที่น้ำซึมผ่านเข้าได้(Capillary pores)

1.2 ความถ่วงจำเพาะแห้งริง(Apparent Specific Gravity)หมายถึงอัตราส่วนของน้ำหนักมวลรวมอบแห้งที่ซึ้งในอากาศ เทียบกับน้ำหนักของน้ำที่ซึ้งในอากาศที่มีปริมาตรเท่ากับมวลรวมโดยไม่รวมช่องว่างในมวลรวมชนิดที่น้ำซึมผ่านเข้าได้(Capillary pores)ที่อุณหภูมิเดียวกัน โดยสรุปมีค่าเท่ากัน

$$\text{ความถ่วงจำเพาะแห้งริง} = \frac{\text{น้ำหนักมวลรวมอบแห้ง}}{\text{น้ำหนักน้ำที่มีปริมาตรเท่ากับเนื้อมวลรวมที่ไม่รวมช่องว่างในมวลรวม}}$$

1.3 ความถ่วงจำเพาะสภาพแห้ง(Bulk Specific Gravity – Oven Dry)หมายถึงอัตราส่วนของน้ำหนักมวลรวมอบแห้งที่ซึ้งในอากาศเทียบกับน้ำหนักของน้ำที่ซึ้งในอากาศที่มีปริมาตรเท่ากับมวลรวมโดยรวมช่องว่างในมวลรวมชนิดที่น้ำซึมผ่านเข้าได้(Capillary pores)ที่อุณหภูมิเดียวกัน โดยสรุปมีค่าเท่ากัน

$$\text{ความถ่วงจำเพาะแห้งริง} = \frac{\text{น้ำหนักมวลรวมอบแห้ง}}{\text{น้ำหนักน้ำที่มีปริมาตรเท่ากับเนื้อมวลรวม+ช่องว่างในมวลรวม}}$$

1.4 ความถ่วงจำเพาะสภาพอิ่มตัวแห้ง(Bulk Specific Gravity Saturated Surface Dry)หมายถึงอัตราส่วนระหว่างน้ำหนักที่ซึ้งในอากาศของมวลรวม กับน้ำหนักของน้ำซึมผ่านเข้าได้(Capillary pores)ที่อุณหภูมิเดียวกัน โดยสรุปมีค่าเท่ากัน

$$\text{ความถ่วงจำเพาะอิ่มตัวแห้ง} = \frac{\text{น้ำหนักมวลรวมอบแห้ง} + \text{น้ำหนักน้ำในช่องว่าง}}{\text{น้ำหนักน้ำที่มีปริมาตรเท่ากับเนื้อมวลรวม+ช่องว่างในมวลรวม}}$$

การคำนวณค่าต่างๆ ในงานคอนกรีต โดยปกติดีอ้วนมวลรวมน้ำอยู่ในสภาพอิ่มตัวผิวแห้ง(Saturated Surface Dry) เมื่อจากน้ำที่ถูกกักอยู่ในช่องว่างในมวลรวมนั้นไม่ได้มีส่วนในการทำปฏิกิริยากับบางแอลฟิลต์ ดังนั้นจึงถือว่าน้ำหนักคงคล่องเป็นส่วนหนึ่งของมวลรวม

2. ค่าการดูดซึมน้ำ (Absorption)

คือ ปริมาณน้ำที่ถูกดูดซึมน้ำเข้าไปจนเต็มช่องว่างที่น้ำซึมน้ำผ่านเข้าได้ (Capillary pores) ของมวลรวมแต่ไม่รวมน้ำที่เกาะอยู่ผิวนอกของมวลรวม (Free Water) และคงค่าเปอร์เซ็นต์ของน้ำหนักน้ำที่อยู่ในช่องว่างต่อน้ำหนักของมวลรวมที่สภาพอบแห้ง

$$\% \text{ Absorption} = \frac{(\text{SSD} - \text{OD})}{\text{OD}} + 100$$



ภาคผนวก ข

การออกแบบส่วนผสมแอสฟัลต์คอนกรีต ชนิดผสมร้อน โดยวิธีมาร์แซลล์

วัตถุประสงค์

เพื่อที่จะคำนวณออกแบบส่วนผสมแอสฟัลต์คอนกรีต ชนิดผสมร้อน โดยวิธีมาร์แซลล์

เอกสารอ้างอิง

ทล.-ท. 604/2517 เทบบเท่านาตรฐาน ASTM.D-1559

ทฤษฎี

แอสฟัลต์คอนกรีตประกอบด้วยส่วนผสมของหินขัดกับยางแอสฟัลต์ ส่วนผสมดังกล่าว เหมาะสมที่จะใช้เป็นผิวทาง ใช้คาดท้องถนน หรือสะ้น้ำ การผลิตคอนกรีตแอสฟัลต์สามารถ ผลิตได้หลายวิธี แต่วิธีที่เหมาะสมในประเทศไทยมี 2 วิธีคือ แบบผสมเสร็จจากโรงงาน (Plant Mix) และแบบผสมในสนาม(Field Mix) กรรมวิธีในการผลิตคอนกรีตแอสฟัลต์ผสมเสร็จคือต้อง มีโรงงานหรือสถานที่ผสม(Plant) โดยให้ความร้อนแก่หิน และยางจนได้อุณหภูมิที่ต้องการแล้วจึง ผสมกันเคล้ากันในเครื่องในอัตราส่วนที่ถูกต้องตามที่ออกแบบไว้ เมื่อผสมเสร็จจึงเทใส่อบรุก แล้วนำไปปั้ยสถานที่ก่อสร้างเทลงในเครื่องปูคอนกรีตแอสฟัลต์ (Asphalt concrete paving machine or paver) ปูตามความหนาที่ต้องการแล้วบดอัดด้วยรถล้อเหล็ก หรือล้อยางตามลำดับ แอสฟัลต์คอนกรีตที่ผสมค่าวิธีนี้ถือว่าเป็นการผลิตที่มีคุณภาพคีที่สุดแต่มีราคาค่อนข้างแพง เพราะ ต้องใช้เครื่องจักร และเครื่องมือหลากหลายชนิด ส่วนคอนกรีตแอสฟัลต์และแบบผสมในสนาม(Field Mix) ทำได้โดยราดยางแอสฟัลต์ลงบนพื้นที่ผิวที่เตรียมไว้ แล้วเกลี่ยม渥รวม หรือ หินขัด กับรถบดปีดทับแล้วทำการบดอัดให้เรียบร้อย Sueface Treatment ผิวทางประเภทนี้อาจทำ เพียงชั้นเดียว(Single Bituminous Sueface Treatment,SBST) สองชั้น(Multi Bituminous Sueface Treatment,MBST) ผิวทางแบบนี้คุณภาพจะไม่ดีเท่ากับแบบผสมเสร็จจากโรงงาน (Plant Mix) แต่ทำได้รวดเร็วและราคาถูกกว่า อีกทั้งไม่ต้องก่อสร้างค่าวิธีใด จะต้องคำนวณ ออกแบบส่วนผสมแอสฟัลต์คอนกรีตให้เหมาะสมกับจำนวนขยะขนาด (หรือโดยในคือ น้ำหนักขนาดพานะ) และต้องทดสอบคุณสมบัติค้านต่างๆที่กำหนดให้ในห้องปฏิบัติการเสนอการ ออกแบบส่วนผสมแอสฟัลต์คอนกรีตวิธีหนึ่ง ที่ใช้กันอย่างแพร่หลายคือ วิธีมาร์แซลล์ (Marshall Test) ซึ่งพัฒนาขึ้นโดย U.S. Corps of Engineers โดย ประเมิน เสถียรภาพ(Stability) การไหล

(Flow) ความหนาแน่น(Density) ปริมาณอากาศ(Air Voids)ปริมาณช่องว่างของวัสดุมวลรวม (Voids in Mineral Aggregate,VMA)ปริมาณช่องว่างที่ถูกแทนที่ด้วยยาง(Voids Filled with Binder or void filled with asphalt cement,VFB or VFA) ตามลำดับซึ่งในการประเมินคุณภาพเหล่านี้ จะกระทำโดยการผสานแปรปริมาณส่วนผสมของยางหลายๆค่า ทั้งนี้เพื่อหาค่าที่เหมาะสม สำหรับ เสถียรภาพ (Stability) ความทนทาน(Durability) ความยืดหยุ่น (Flexibility) ความต้านทานความล้า (Fatigue Resistance) กำลังต้านทานการแตกร้าว(Fracture Strength) ความต้านทานการลื่นไถล(Skid Resistance) ความทึบ拿 (Impermeability) และความสามารถในการทำงาน(Workability)เป็นต้น

การวิบัติของตัวอย่างที่ทดสอบ โดยเครื่องมือมาร์แซลล์ค่อนข้างที่จะซับซ้อน โดยพื้นฐานแล้วอาจจะกล่าวได้ว่า วิธีทดสอบนี้ เป็นชนิดหนึ่งของการทดสอบแบบ Unconfined Compression ซึ่งในสภาพความเป็นจริงผิวของภาระ จะถูกกดทับโดยยางรถยกตัว(หรือน้ำหนักของยานพาหนะ) ซึ่นพื้นที่ทาง และผิวจราจรรอบข้าง ดังนั้นการทดสอบโดยวิธีนี้จึงมีความสัมพันธ์กับการเสียบูรป้องผิวจราจรเพียงระดับหนึ่งเท่านั้น ผลทดสอบโดยทั่วไปพบว่าการเพิ่มปริมาณยางทำให้มีผลในด้านคุณสมบัติการไหลมากขึ้น ในขณะที่ค่าเสียรภาพจะเพิ่มขึ้น เช่นกัน ผลกระทบทั่วไปของยางเพิ่มขึ้นถึงขีดจำกัดระดับหนึ่ง ค่าเสียรภาพจะลดลง ดังนั้นในการออกแบบส่วนผสมบางองค์กร จะมีการกำหนดเสียรภาพต่ำสุด และกำหนดค่าการไหลเป็นช่วง โดยแยกต่างกันตามวัสดุประสงค์การใช้งาน(เช่น ทำถนน หรือ สนามบิน เป็นต้น) นอกเหนือจากปริมาณยางที่ใช้ในส่วนผสมแล้วค่าเสียรภาพ และการไหลของแอสฟัลต์ก้อนกรวดซึ่งขึ้นอยู่กับชนิดของยางซึ่นคุณภาพของมวลรวม รูปร่างของมวลรวม ความพรุน พลังงานในการบดทับ และอื่นๆ

ภาคผนวก ก

การทดสอบแอสฟัลต์คอนกรีต ชนิดผสมร้อน โดยวิธีมาร์แซลล์

วัตถุประสงค์

การทดสอบคุณสมบัติของแอสฟัลต์คอนกรีต โดยวิธีมาร์แซลล์ เป็นวิธีทางค่าคุณสมบัติที่ๆ ได้แก่ เสถียรภาพ การไหล ค่าร้อยละของช่องว่างอากาศ ค่าร้อยละของช่องว่างอนุภาคของมวลรวม และค่าร้อยละของช่องว่างที่แทนที่ด้วยยาง AC (60/70)

เอกสารอ้างอิง

ทล.-ท. 604/2517 เที่ยบเท่ามาตรฐาน ASTM.D-1559

ทฤษฎี

การทดสอบแอสฟัลต์คอนกรีต ชนิดผสมร้อน โดยวิธีมาร์แซลล์

ความหนาแน่น(Density) คือมวลของแอสฟัลต์คอนกรีตต่อหนึ่งหน่วยปริมาตรคิวเมตร แอสฟัลต์คอนกรีตที่มีความหนาแน่นมากพอที่จะทำให้อาบุการใช้งานและมีคุณภาพดี

$$\text{ดังนี้ } D = (A/(B-C)) \quad (2.1)$$

เมื่อ $D = \text{ความหนาแน่น (gm./ml.)}$

$A = \text{ชั่งน้ำหนักในอากาศ(gm)}$

$B = \text{ชั่งน้ำหนักอิ่มตัวผิวน้ำแห้ง(gm)}$

$C = \text{ชั่งน้ำหนักในน้ำ(gm)}$

เสถียรภาพ(Stability) คือความสามารถในการรับน้ำหนักของราง ได้โดยไม่เกิดร่องล้อหรือเกิดคลื่น หรือมีการเปลี่ยนแปลงรูปร่าง ผิดไปจากเดิม เสถียรภาพของแอสฟัลต์คอนกรีตขึ้นอยู่กับความเสียดทานภายใน และแรงซึ่คประสานระหว่างอนุภาคของมวลรวม ความเสียดทานเป็นผลมาจากการคุณสมบัติของมวลรวม ซึ่งได้แก่ รูปร่างอนุภาคของมวลรวม ลักษณะความเรียบ หยาบ หรือขุบขะของผิวนุภาคของมวลรวม ส่วนแรงซึ่คประสานเกิดมาจากการคุณสมบัติของแอสฟัลต์ในการขัด เกาะอนุภาคของมวลรวมให้ติดกันได้ดีเพียงใด ผลกระทบของความเสียดทาน และแรงซึ่คภาวะระหว่าง

อนุภาคของมวลรวม จะซ้ำบป้องกันไม่ให้อนุภาคของมวลรวมเกิดการเคลื่อนที่ผ่านซึ่งกันและกัน เมื่อมีน้ำหนักของยานพาหนะมากจะทำ

$$\text{ดังนั้น } S = (9.7021X) - 31.5189 \quad (2.2)$$

เมื่อ S = เสถีบรภาพ (Lbs.)

X = ค่าที่อ่านได้จาก Dial Gage

การไหล(Flow)คือความสามรถทนต่อสภาพอุณหภูมิที่สูงขึ้นเนื่องสภาพถนนจริงได้รับความร้อนจะเกิดการไหลของพื้นผิวรถ ซึ่งไม่สามารถมองเห็นได้ด้วยตาเปล่า จะนั่นในห้องทดลองจึงได้จำลองโดยการนำก้อนตัวอย่างแข็งในน้ำที่อุณหภูมิ 80 องศาเซลเซียส เป็นเวลา 30 นาที และมาทำการทดสอบหาค่าการไหล เพื่อที่จะนำมาใช้ในสภาพงานจริงในสภาวะนั้นๆ

$$\text{ดังนั้น } F = \text{ค่าที่อ่านได้จาก Dial Gage (1/100)} \quad (2.3)$$

เมื่อ F = ค่าการไหล(cm.)

ช่องว่างอากาศ(Air Void, AV) คือ ปริมาตรทั้งหมดของช่องเดือกๆที่มีอากาศบรรจุอยู่ระหว่างอนุภาคของมวลรวมที่ถูกเคลื่อนด้วยแสงฟลิตในส่วนผสมแสงฟลิตค่อนกรีดที่บดอัดแล้ว แสดงเป็นค่าร้อยละของปริมาตรทั้งก้อนของส่วนผสมแสงฟลิตค่อนกรีดที่บดอัดแล้ว

$$\text{ดังนั้น } AV = VMA - j \quad (2.4)$$

เมื่อ AV = ช่องว่างอากาศ (%)

VMA = ช่องว่างระหว่างอนุภาคของมวลรวม(%)

j = ผลกระทบปริมาณบางแสงฟลิต AC (60/70) (%)

ช่องว่างระหว่างอนุภาคของมวลรวม (Voids in Mineral Aggregate, VMA) คือ ปริมาณของช่องว่างที่อยู่ระหว่างอนุภาคแต่ละก้อนของมวลรวมในส่วนผสมแสงฟลิตค่อนกรีดที่บดอัดแล้ว ซึ่งเท่ากับค่าของช่องว่างอากาศรวมกับค่าแสงฟลิตประสิทธิผล แสดงค่าเป็นค่าร้อยละของปริมาณทั้งหมดของส่วนผสม

$$\text{ดังนั้น } VMA = 100 - k$$

เมื่อ VMA = ช่องว่างระหว่างอนุภาคของมวลรวม (%)

k = ผลกระทบปริมาณวัสดุมวลรวม (%)

ซ่องว่างที่ถูกแทนที่ด้วยแอสฟัลต์คอนกรีต (Voids Filled With Bituminous , VFB) คือส่วนหนึ่งของซ่องว่างระหว่างอนุภาคของมวลรวม โดยเป็นส่วนที่แอสฟัลต์คอนกรีตประสิทธิพลบูรณาภูมิ

$$\text{ดังนั้น } VFB = ((100*j) / VMA) \quad (2.6)$$

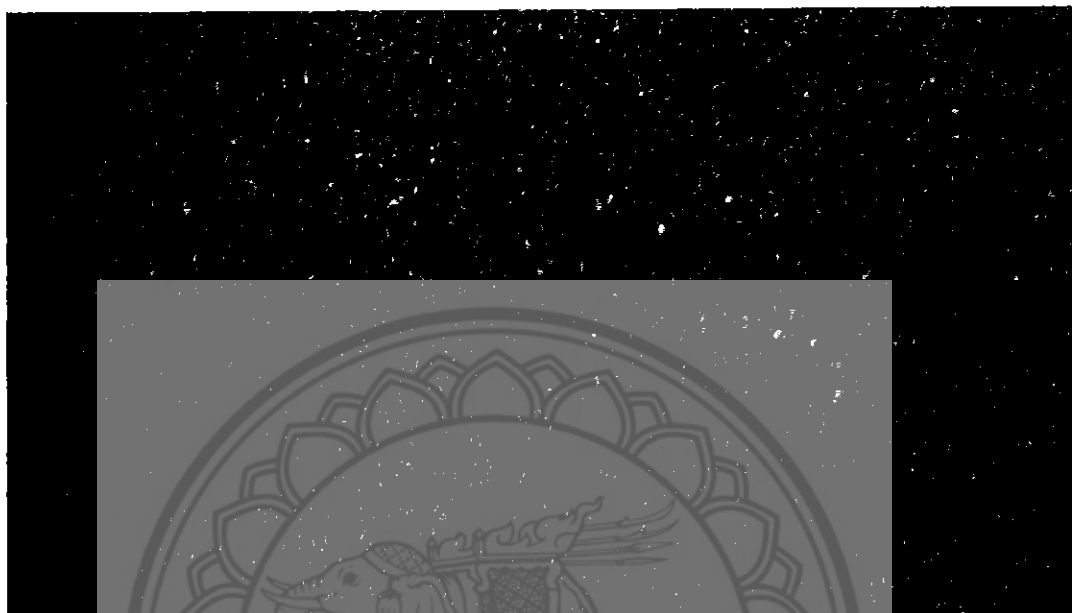
เมื่อ $VFB =$ ซ่องว่างที่ถูกแทนที่ด้วยแอสฟัลต์ (%)

$VMA =$ ซ่องว่างระหว่างอนุภาคของมวลรวม (%)

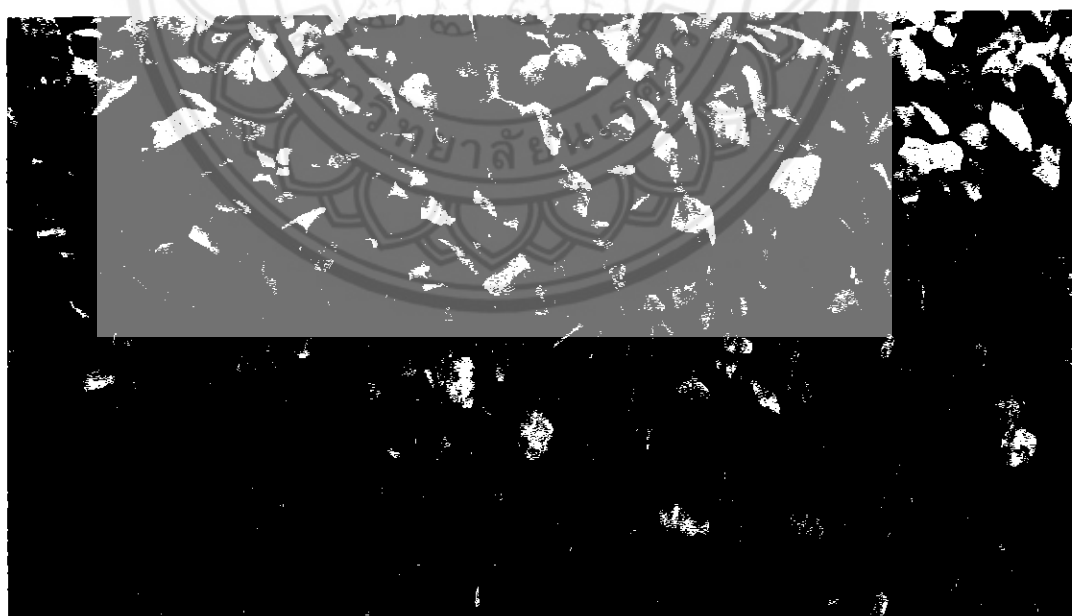


ภาคผนวก ง

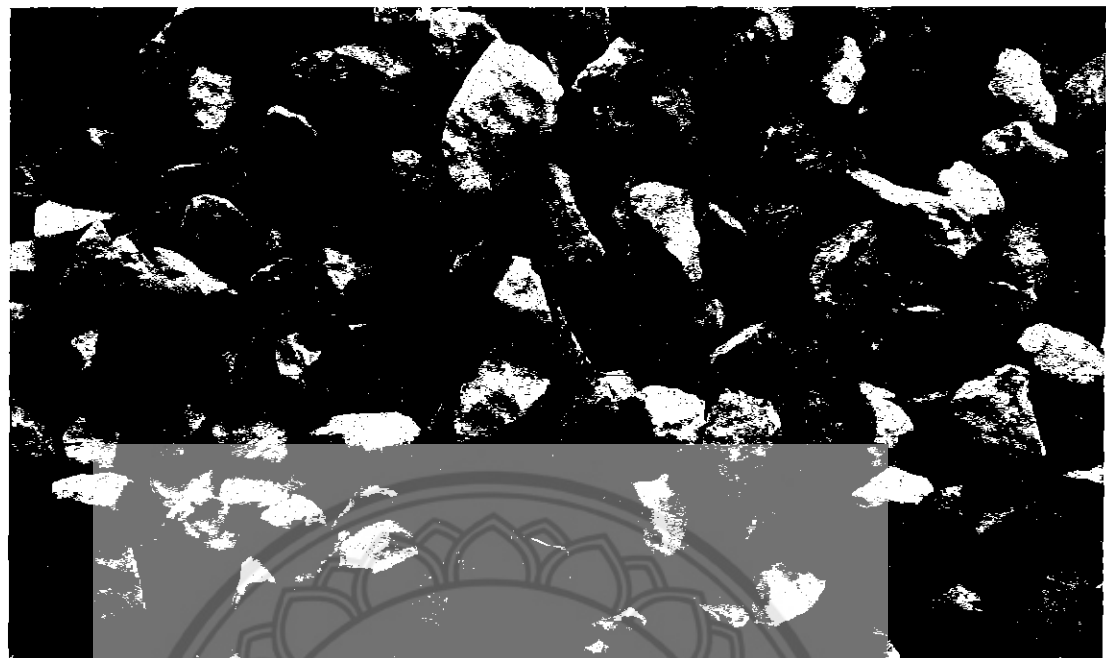
ภาพประกอบโครงงาน



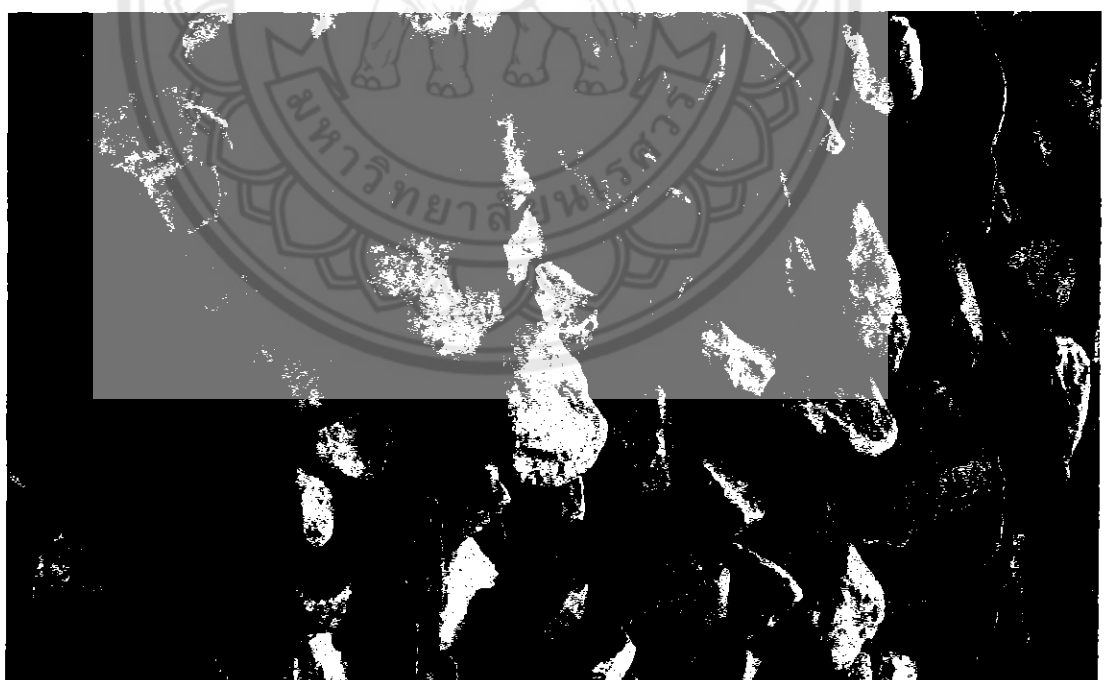
รูปที่ 1 วัสดุมวลรวมละเอียด(หินฝุ่น)ที่ร่อนผ่านตะแกรงเบอร์4



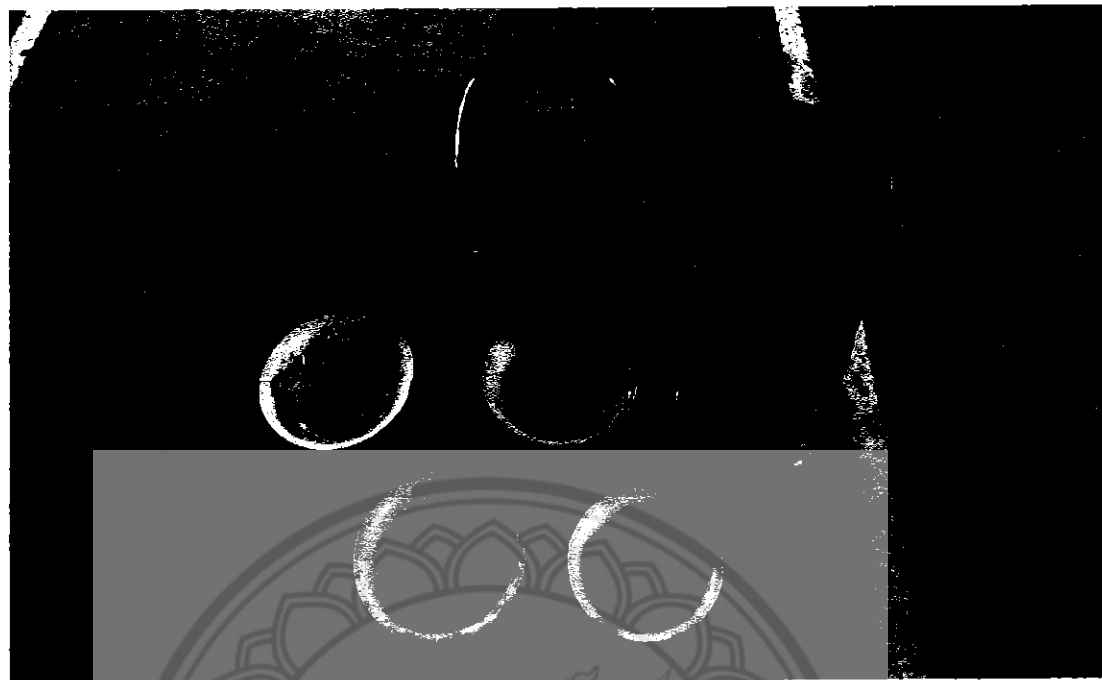
รูปที่ 2 วัสดุมวลรวมหยาบ(เบอร์ 3/8 นิ้ว)



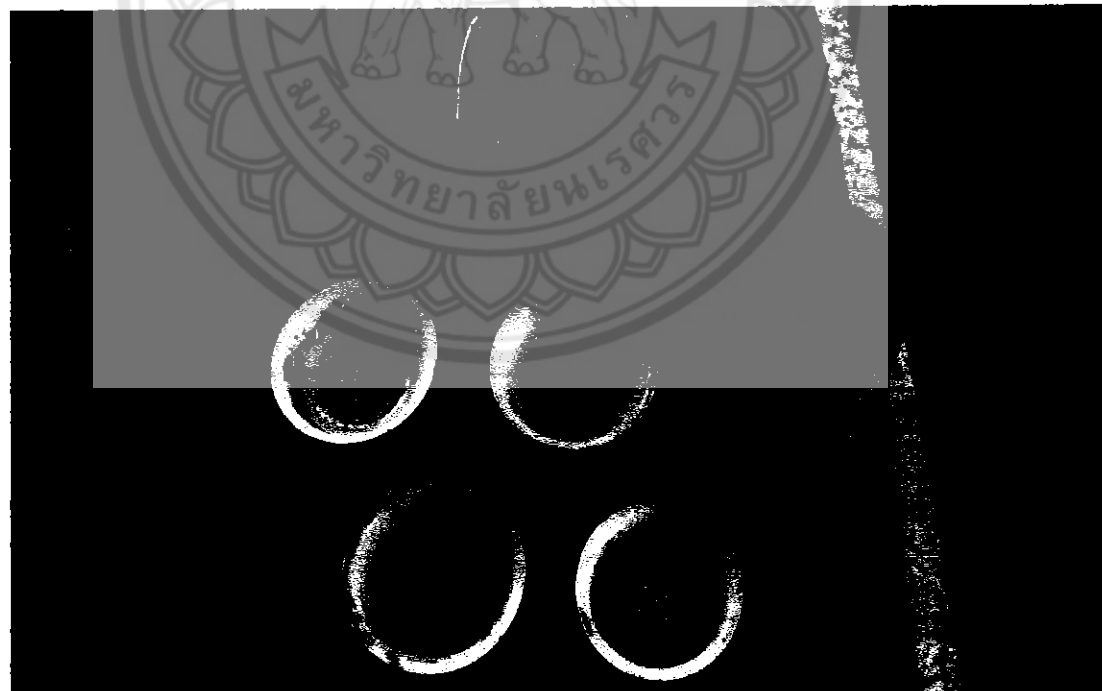
รูปที่ 3 วัสดุมีความร่วนขนาด(เนื้อร่อง 1/2 นิ้ว)



รูปที่ 4 วัสดุมีความร่วนขนาด(เนื้อร่อง 3/4 นิ้ว)



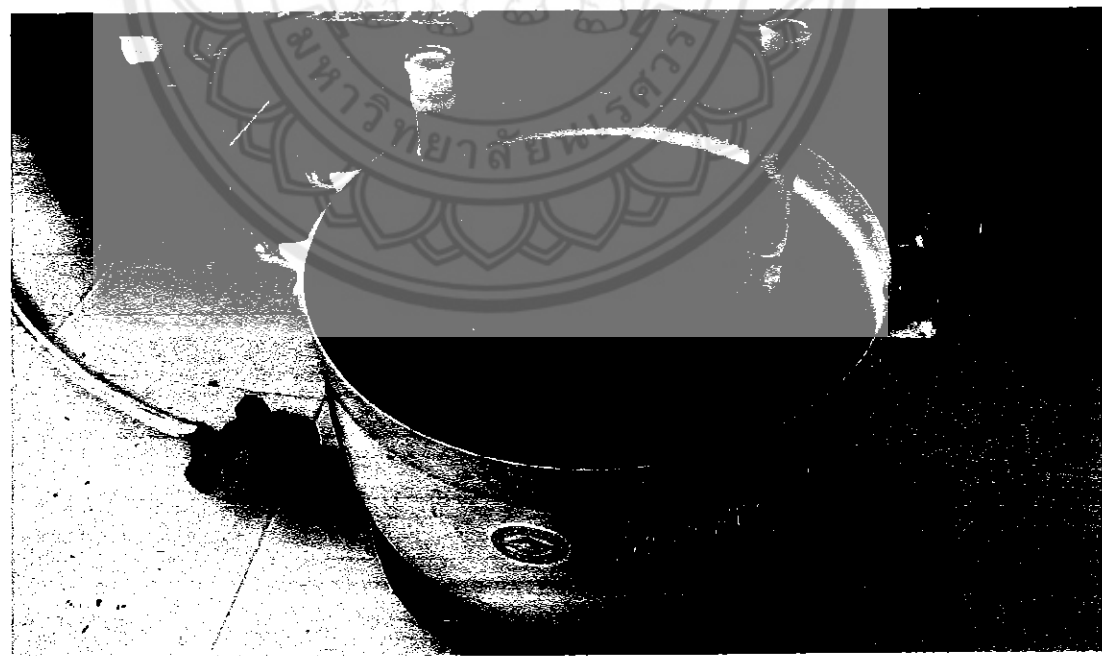
รูปที่ 5 อุปกรณ์ที่ใช้ในการทดสอบหาบนาคคละของวัสดุมวลรวมละเอียด



รูปที่ 6 อุปกรณ์ที่ใช้ในการทดสอบหาบนาคคละของวัสดุมวลรวมหยาบ



รูปที่ 7 ชุดเครื่องมือชั่งของวัสดุมวลรวม helyab



รูปที่ 8 อุปกรณ์ที่ใช้ในการทดสอบหาค่าความถ่วงจำเพาะของวัสดุมวลรวมละเอียด



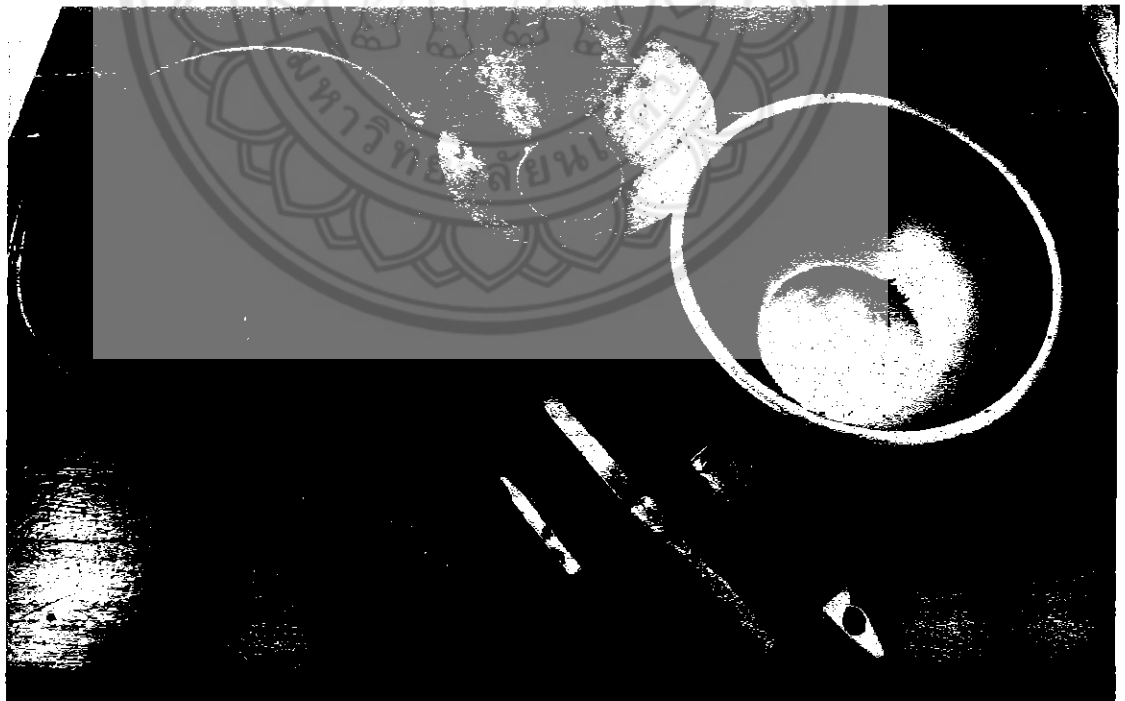
รูปที่ 9 อุปกรณ์ที่ใช้ในการทดสอบหาค่าทรายสมมูล(Sand Equivalent)



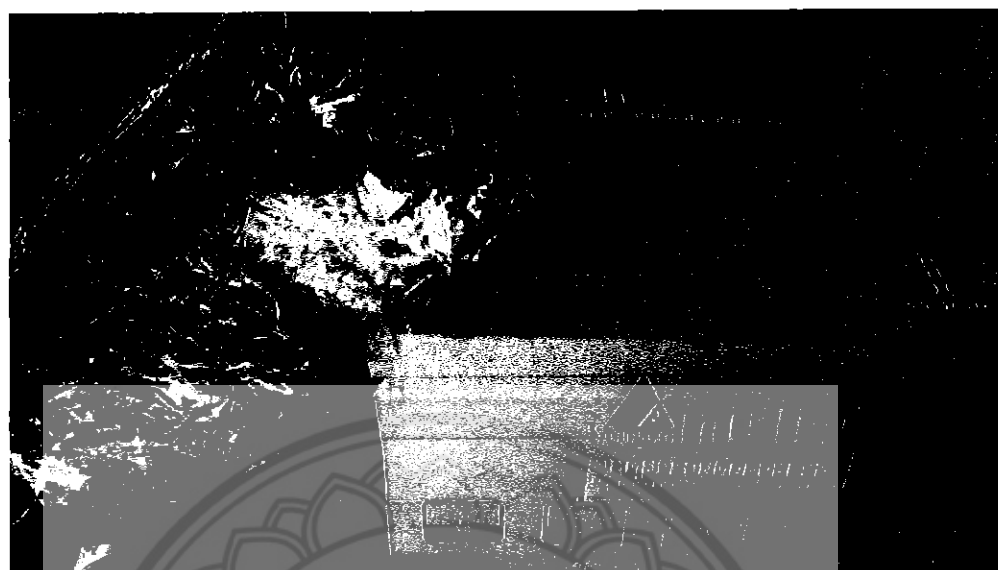
รูปที่ 10 น้ำยาที่ใช้ในการทดสอบหาค่าทรายสมมูล (สารละลายเข้มข้น)



รูปที่ 11 อุปกรณ์ที่ใช้ในการหาค่าการสืบหารอ



รูปที่ 12 เครื่องมือที่ใช้ในการผสานแอดฟล็อกต่อนกรีด ชนิดผสานร้อน



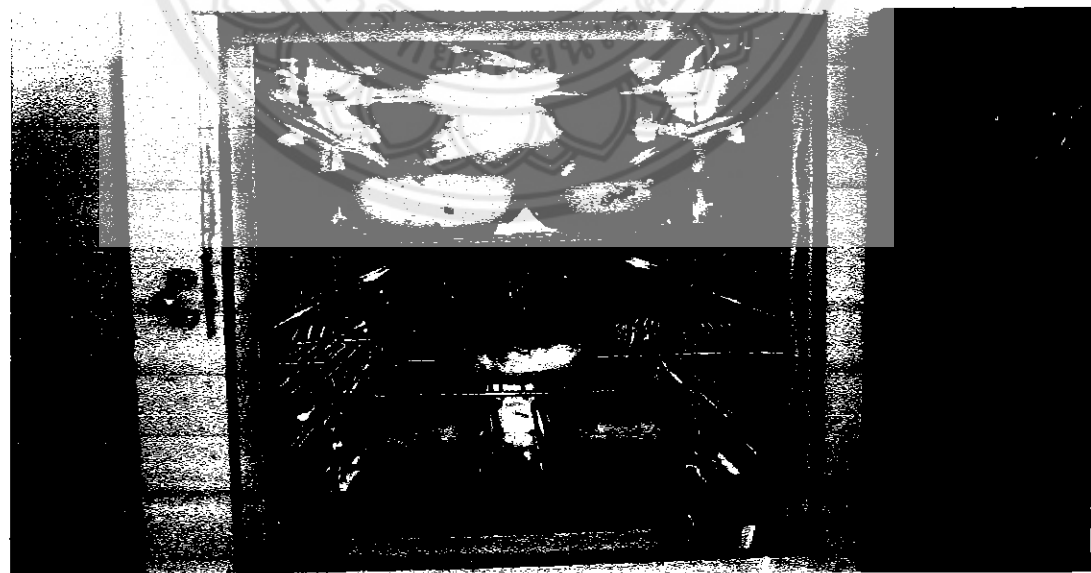
รูปที่ 13 ยางแอสฟัลต์ AC 60/70



รูปที่ 14 ยางแอสฟัลต์ AC 60/70



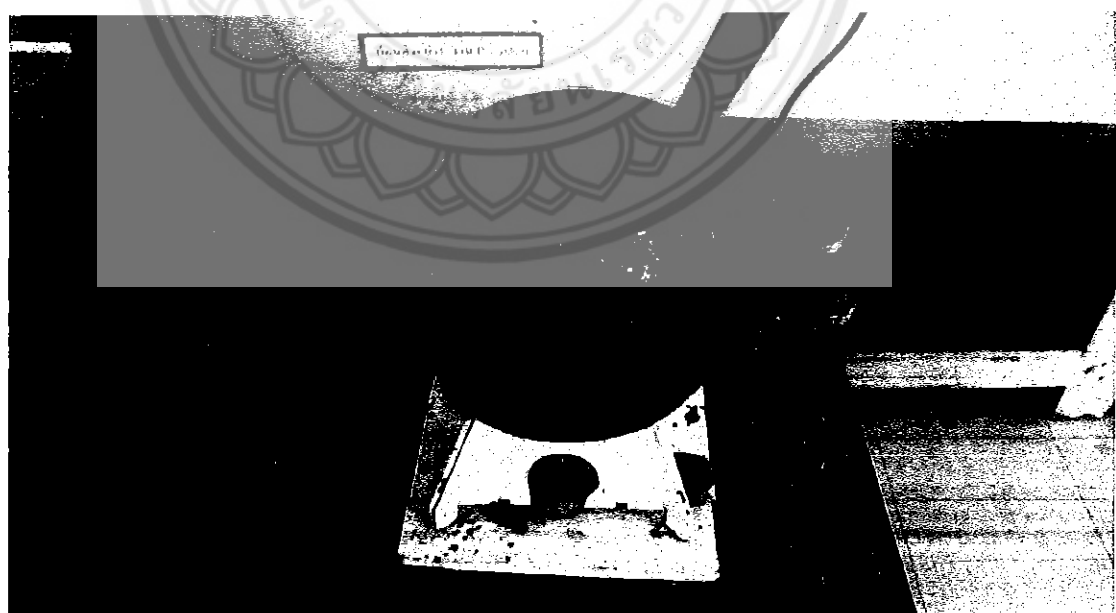
รูปที่ 15 อุปกรณ์ที่ใช้ในการนวดอัคแอลฟล็อกกอนกรีต แท่นรอง แกะที่จับแบบ



รูปที่ 16 เครื่ยมตัวอย่างวัสดุตามอัตราส่วนที่ออกแบบและให้ความร้อนกับตัวอย่างที่เตรียมไว้ที่ อุณหภูมิ 180 ± 5 องศาเซลเซียส



รูปที่ 17 ให้ความร้อนกับโนลที่ อุณหภูมิ 180 ± 5 องศาเซลเซียส



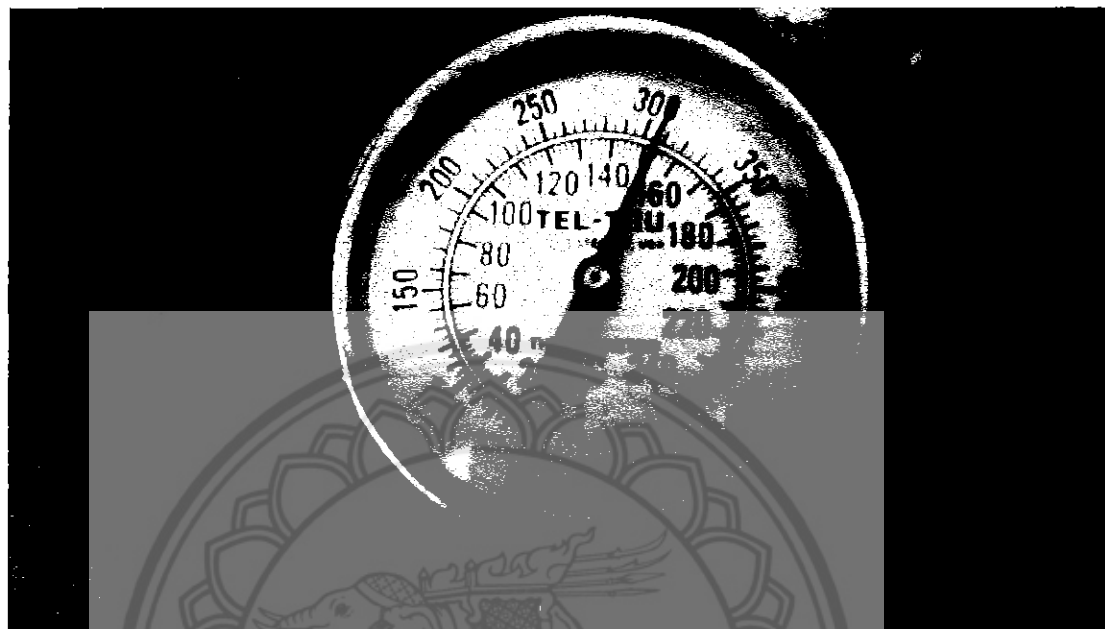
รูปที่ 18 ให้ความร้อนกับยางแอสฟัลต์ AC 60/70ที่ อุณหภูมิ 150 ± 5 องศาเซลเซียส



รูปที่ 19 ผสมตัวอย่างร้อนให้เข้ากับพลาสติก AC 60/70 เคลื่อนโดยทั่ว



รูปที่ 20 ตรวจอุณหภูมิให้ได้ 150 ± 5 องศาเซลเซียส



รูปที่ 21 ตรวจอุณหภูมิให้ได้ 150 ± 5 องศาเซลเซียส



รูปที่ 22 เทคัวข้างที่ผสมแล้วลงแบบ



รูปที่ 23 แหงตัวอย่างโอดหرون 15 ครั้ง และแหงกลางก่อนตัวอย่างให้ทั่ว 10 ครั้ง



รูปที่ 24 ทำก่อนตัวอย่างให้ครบตามจำนวนครั้งที่มาตรฐานกำหนด



รูปที่ 25 เครื่องดันก้อนตัวอย่างออกจากแบบ



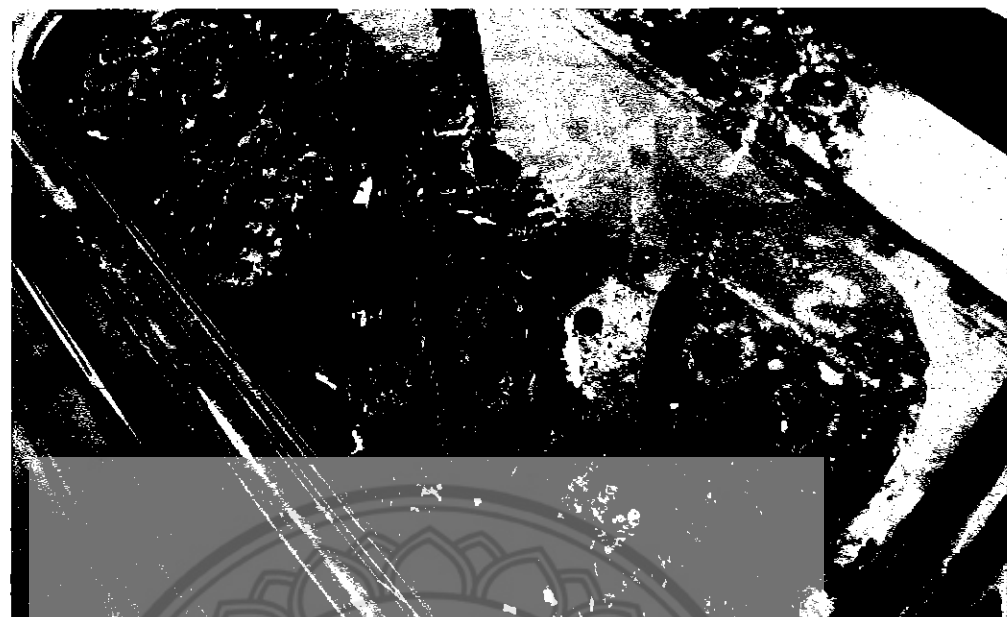
รูปที่ 26 หม้อต้มน้ำไฟฟ้า



รูปที่ 27 ทึ่งตัวอย่างให้เข็นลง 24 ชั่วโมง



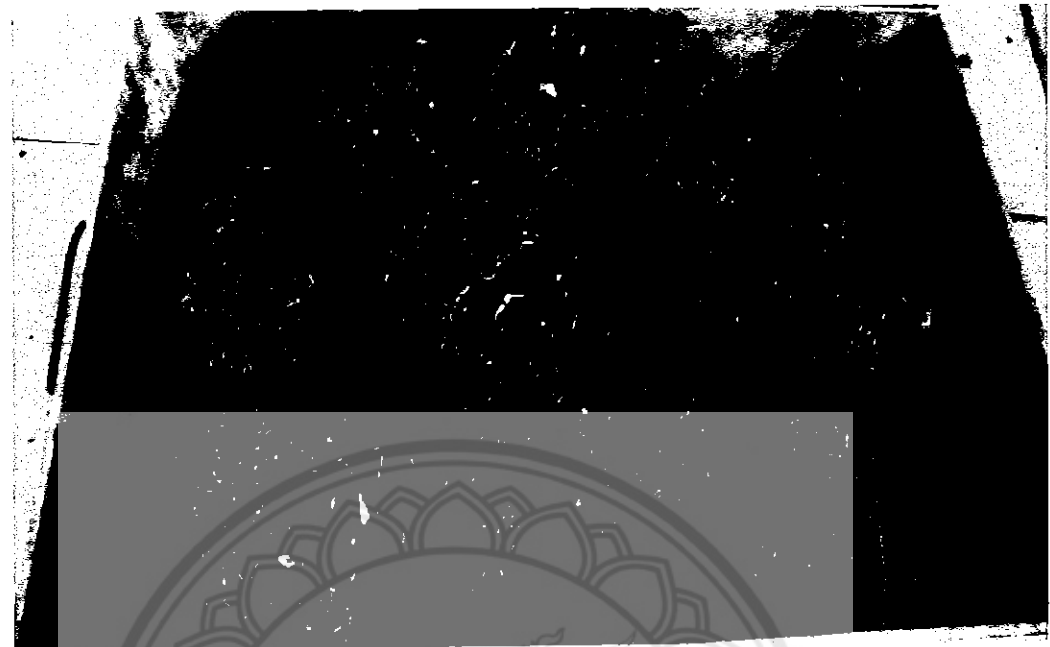
รูปที่ 28 ดันตัวอย่างออกจากแบบ



รูปที่ 29 แซ่ดัวอย่างในน้ำที่อุณหภูมิที่กำหนดไว้เป็นเวลา 30 นาที



รูปที่ 30 นำไปทดสอบหาค่าเสถียรภาพ และการไฟล



รูปที่ 31 ลักษณะการวินัยของก้อนด้วอย่างหลังการทดสอบ



รูปที่ 32 ลักษณะการวินัยของก้อนด้วอย่างหลังการทดสอบ



ເມເຄລັງວັດທະນາ

ໂຮງໂນເກີນ ສີລາ ປູ້ອື່ນ ທະນາຄົມ

ຫຼິ້ນຕະຫຼອງວັດສຸ Line Stone ໄແລວພັດທະນາກົມເຮົດ ຫຼັນ

Plant

ຫຼິ້ນຕະຫຼອງວັດສຸ

ຫຼິ້ນຕະຫຼອງວັດສຸ

ໂຮງໂນເກີນ ສີລາ ປູ້ອື່ນ ທະນາຄົມ

ຫຼິ້ນຕະຫຼອງວັດສຸ

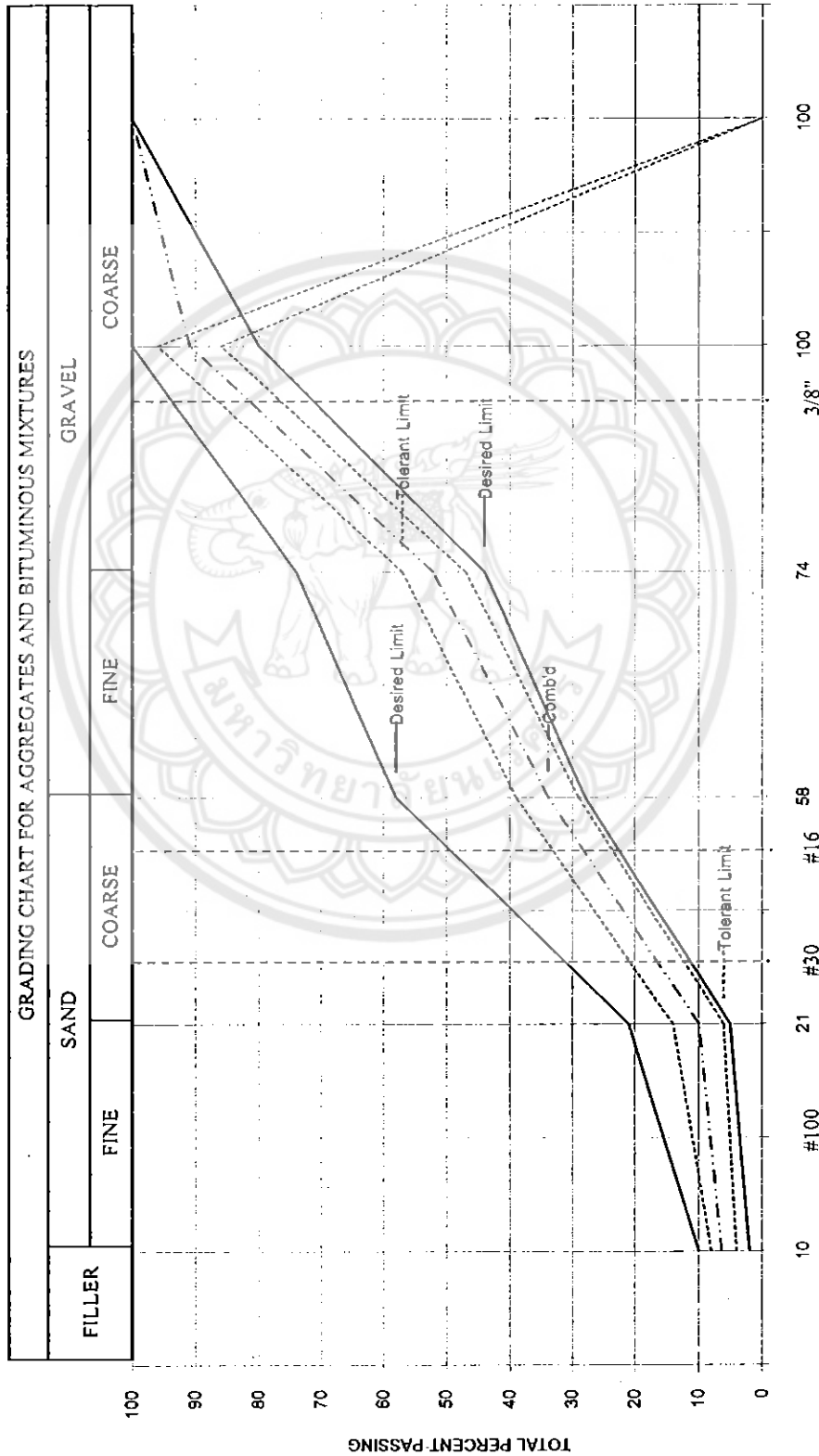
SIZE	COLD BIN				Comb'd	HOT BIN				DESIRED	TOLERANT
	SAND	BIN 1	BIN 2	BIN 3		LIME / CEMENT	BIN 1	BIN 2	BIN 3	BIN 4	
1 1/2 "					Comb'd						
1 "											
3/4 "											
1/2 "											
3/8 "											
#4											
#8											
#16											
#30											
#50											
#100											
#200											

MIX PROPORTION

	45	22	17	16
--	----	----	----	----

ສຳນັກວິທະຍາໄລ ວຽງຈັນ

ຫຼຸມ
Wearing Course



SIEVE SIZE - U.S. STANDARD SIEVE SERIES - SQUARES OPENINGS

ສໍານັກວິເຄາະທີ່ແລະດ້ວຍກອບ ດຽວກຳກາງຂອງ ດຽວກຳກາງລວງ

Specific Gravity of Hot Bin I Retained # 200 : GB = 2.664 : GA = 2.764
Retained # 200 : GA = 2.717

$$\begin{aligned}
 \text{Sp.Gr. Ble} &= \frac{(R\#200 / GB\#200) + (P\#200 / GA\#200)}{(14.1/2.764)+(85.9/2.664)} \\
 &= 2.678
 \end{aligned}$$

$$\text{Sp.Gr. Blend} \quad \frac{100}{(RH4/GBH4) + (PH4/GAH4)}$$

LIME & CEMENT	Bin 1 (B1)	Bin 2 (B2)	Bin 3 (B3)	Bin 4 (B4)
	2.678	2.704	2.781	2.723
	2.764	2.761	2.796	2.753
	-	-	-	-
	-	-	-	-
	100.0	31.0	0.1	1.9
	45	22	17	16

$$\text{Apparent specific Gravity Blend} = \frac{100}{(\text{CM} / \text{GA.CM}) + (\text{HB1} / \text{GA1}) + (\text{HB2} / \text{GA2}) + (\text{HB3} / \text{GA3}) + (\text{HB4} / \text{GA4})}$$

Blend GA = 2.767

Bulk specific Gravity Blend = 100

(CM / GA.CM) + (HB1 / GB1) + (HB2 / GB2) + (HB3 / GB3) + (HB4 / GB4)

Blend GR = 2708

$$\text{Elasticity Index of Total Agg} = EI_2(100 \cdot P_2) HB_2 + EI_3(100 \cdot P_3) HB_3$$

{100 - R2} HR2 + {100 - R3} HR3 + {100 - R4} HR4

$$= EI_2(100-P_2)HB2 + EI_3(100-P_3)HB3 + EI_4(100+P_4)HB4$$

(100 -

$$= \quad \%$$

ສໍານັກວິເຄາະທີ່ແລະ ດຽວຈະສອນ
ກ່ຽວຂ້າງຂ່າຍ

ເຫັນອອກຕ້າອ່ານ ພຊກ. ດົງສິມແດນ
ວັນທີກົດດັບ 30 ດ.ກ. 53

ເຫັນເກົ່າກື່ອດລອງ

Specific Gravity Test

Sample Hot Bin I Passing # 20C

Source ພຊກ. ດົງສິມແດນ

Pycnometer No.

Wt.Pycnometer + SSD.Sample

= -

g

Container No.

Wt.Container + Dry Sample

=

426.0 g

Wt.Pycnometer

= -

g

Wt.Container

=

231.0 g

Wt.SSD.Sample

= -

g

Wt.Dry Sample

=

195.0 g

Determination No. I		1	2	3
Temperature	(T) C	50	40	35
Density of water	(Dt) g/ml.	0.9881	0.9922	0.9941
Wt.Pycnometer + Water + Sample	(W1) g	782.3	783.5	784.5
Wt.Pycnometer + Water	(W2) g	657.33	658.95	659.74
Bulk Sp.Gr. (Oven-Dry Basis)				
GB. (t C)	= $\frac{B \times D_t}{A + W_2 - W_1}$			
GB. (30 C)	= $\frac{B \times D_t}{A + W_2 - W_1}$			
	0.9957			
Apparent Sp.Gr.				
GA. (t C)	= $\frac{B \times D_t}{B + W_2 - W_1}$	2.751	2.746	2.760
GA. (30 C)	= $\frac{B \times D_t}{B + W_2 - W_1}$	2.751	2.758	2.772
	0.9957			

Average GB. = -

Average GA. = 2.764

% Absorption = $\frac{A - B}{B} \times 100$ = -

สำนักวิเคราะห์และตรวจสอบ

กรมท่าอากาศยาน

เจ้าของค้าอิ่ง หลก. กิจสินເຄີຍ
ວັນທີກົດອາງ 30 ຕ.ກ. 53

ເຈັ້າກົດອາງ

Specific Gravity Test

Sample Hot Bin 1 Retained # 200

Source หลก. กิຈສິນເຄີຍ

Pycnometer No.	2	Container No.	2
Wt.Pycnometer + SSD.Sample	= 660.0 g	Wt Container + Dry Sample	= 741.3 g
Wt.Pycnometer	= 167.0 g	Wt.Container	= 253.0 g
Wt.SSD.Sample	= 493.0 g	Wt.Dry Sample	= 488.3 g

Determination No. 2	1	2	3
Temperature (T) C	45	40	35
Density of water (D.) g/ml.	0.9902	0.9922	0.9941
Wt.Pycnometer + Water + Sample (W1) g	965.5	966.0	966.5
Wt.Pycnometer + Water (W2) g	655.0	655.6	656.4
Bulk Sp.Gr. (Oven - Dry Basis)			
GB. (t C) = $\frac{B \times D_t}{A + W_2 - W_1}$	2.650	2.653	2.655
GB. (30 C) = $\frac{GB. (t C)}{0.9957}$	2.661	2.664	2.666
Apparent Sp.Gr.			
GA. (t C) = $\frac{B \times D_t}{B + W_2 - W_1}$	2.727	2.723	2.725
GA. (30 C) = $\frac{GA. (t C)}{0.9957}$	2.739	2.735	2.737

$$\text{Average GB.} = 2.664$$

$$\text{Average GA.} = 2.737$$

$$\% \text{ Absorption} = \frac{A - B}{B} \times 100 = 1.00$$

สำนักวิเคราะห์และตรวจสอบ

กรมทางหลวง

เจ้าของข้อบ่ง
นงก. กิตตินาถีก

วันที่ทดลอง 1 พ.ย. 53

เจ้าหน้าที่ทดลอง

SPECIFIC GRAVITY AND ABSORPTION OF COARSE AGGREGATE

Sample HOT BIN II , III , IV Wearing Course

Source

SAMPLE		Weight of sample			GB	GA	% Abs
		in oven-dry condition(A)	in SSD, condition(B)	immersed in water(C)	A (B-C)	A (A-C)	(B-A)*100 A
HOT BIN 2	No. 1	796.5	802.5	508.7	2.711	2.768	0.75
	No. 2	742.5	748.3	473.2	2.699	2.757	0.78
	No. 3	823.5	829.7	525.0	2.703	2.759	0.75
	No. 4						
	Total	2362.5	2380.5	1506.9	2.704	2.761	0.76

HOT BIN 3	No. 1	1084.5	1086.5	697.2	2.785	2.800	0.18
	No. 2	1123.0	1125.5	722.7	2.789	2.805	0.22
	No. 3	1276.0	1277.8	817.5	2.772	2.783	0.14
	No. 4						
	Total	3483.5	3489.8	2237.4	2.781	2.796	0.18

HOT BIN 4	No. 1	1271.6	1176.8	809.2	2.719	2.750	0.45
	No. 2	1485.5	1492.4	946.7	2.721	2.757	0.46
	No. 3	1345.0	1349.3	856.2	2.728	2.752	0.32
	No. 4						
	Total	4102.1	4118.5	2612.1	2.723	2.753	0.40

ສໍາເລັດຕຽບອອນແລະວິເຄຣະທົ່າງວິກວຽກຮອນ ດ່ວນທາງແຂວງ

Hot mix design data by The Marshall Method

Mix Proportion Hot Bin 1 : 2 : 3 : 4	45:22:17:16	(By Weight)	Pen.Grade AC 60 - 70
Avg. Sp.Gr.Agg. And Filler (Gag)	= 2.708		Sp.Gr.Ac (Gac) = 1.02%
Compaction, number of blows	= 75	blows	Biurmen Absorption (x) = 0.25 %
<hr/>			
No. of Sample	1	2	3
% AC by Wgt. Of Agg. (a)	4.50		5.00
% AC by Wgt. Of Mix (b)	4.31		4.76
% Eff. AC by Wgt of Mix (c) : b-(x(100-b)/100)	4.07		4.52
Spec Hgt. in.(d)	1	2	3
DENSITY			
Wt in air gm. (e)	1249.3	1251.0	1244.0
Wt sat surface dry gm. (f)	1250.0	1252.2	1246.5
Wt in water gm. (g)	730.7	729.2	731.2
Bulk Volume ml. (h) : f/g	519.3	523.0	515.3
Bulk Density gm./ml. (I) : e/h	2.406	2.392	2.414
Average Density	2.404		2.428
VOID ANALYSIS			
Volume AC % Total (j) : e*i/Gac	9.6		10.8
Volume Agg % Total (k) : (100-b)l/Gag	84.9		85.4
VMA % (l) : 100-k	15.1		14.6
Air Voids % (m) : l-j	5.5		3.8
VFB % (n) : 100*j/l	63.6		74.0
Average Stability	2247	2250	2243
Meas. Lbs	2340	2350	2340
Adjust Lbs	2512	2534	2490
Average Flow	11	10	11
Meas. l/100"	12	11	12
Average Flow	11	12	13

ສໍາເລັດຕຽບອອນແລະວິເກຣະກ່າງວິທີກອງການ ການກາງຫລວງ

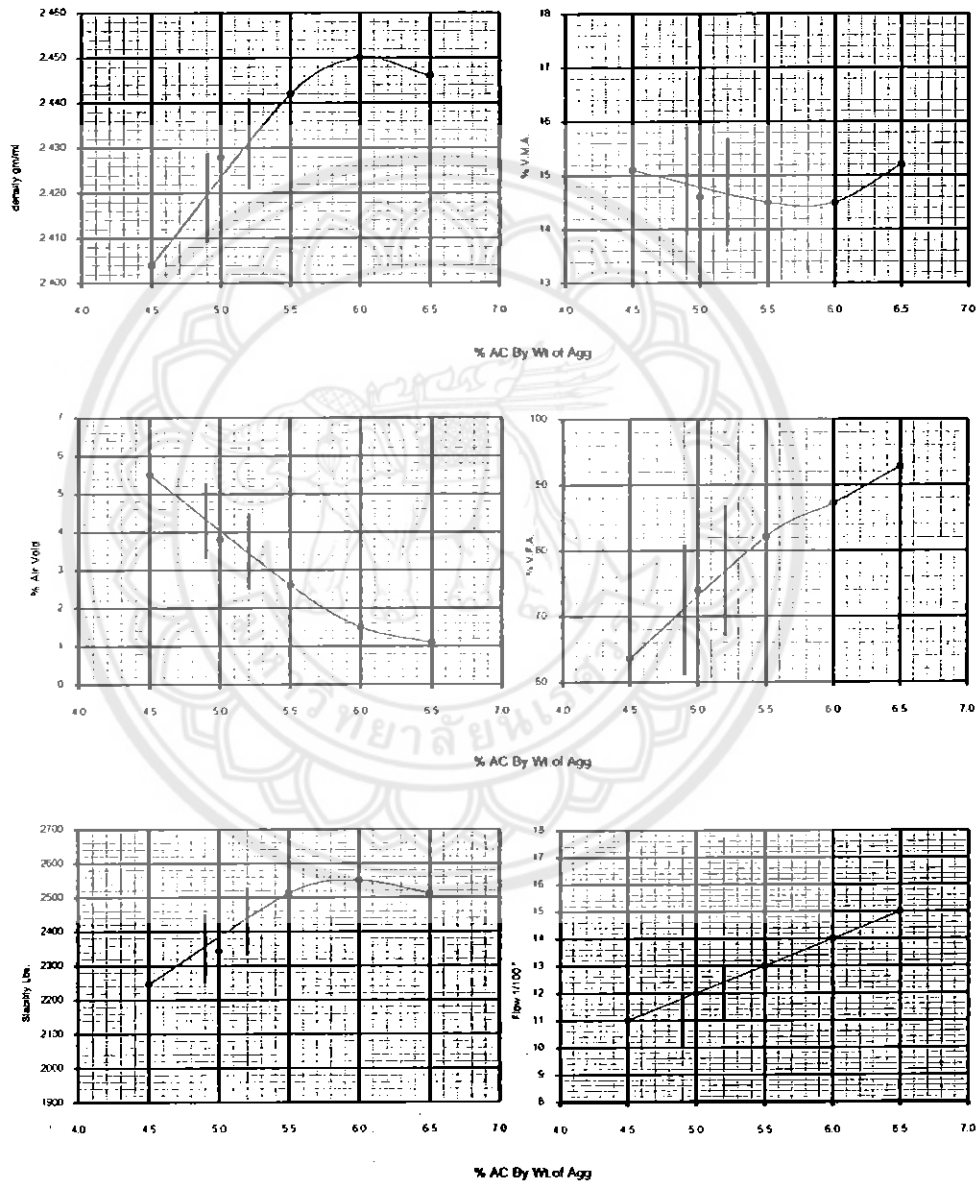
Hot mix design data by The Marshall Method

Mix Proportion Hot, Bin I : 2 : 3 : 4	45:22:17:16	(By Weight)			Pen.Grade	AC 60 - 70			
Avg. Sp.Gr Agg. And Filler (Gac)	= 2.708				Sp.Gr.Ac. (Gac)	= 1.02%			
Compaction, number of blows	= 75	blows			Bitumen Absorption (x)	= 0.25 %			
No. of Sample	1	2	3	1	2	3	1	2	3
% AC by Wgt. Of Agg. (a)		6.00			6.50				
% AC by Wgt. Of Mix (b)		5.66			6.10				
% Eff. AC by Wgt of Mix (c) : b:(x(100-b)/100)		5.42			5.86				
Spec Hgt. in.(d)	1	2	3	1	2	3	1	2	3
DENSITY									
Wt in air gm. (e)	1258.0	1256.0	1251.5	1269.9	1275.0	1263.0			
Wt sat surface dry gm. (f)	1259.5	1257.0	1253.0	1271.0	1276.0	1264.5			
Wt in water gm. (g)	745.9	744.4	742.7	752.7	752.2	749.7			
Bulk Volume ml. (h) ; f-g	513.6	512.6	510.3	518.3	523.8	514.8			
Bulk Density gm./ml. (l) : e/h	2.449	2.450	2.451	2.450	2.434	2.453			
Average Density		2.450			2.446				
VOID ANALYSIS									
Volume AC % Total (j) : c*l/Gac		13.0			14.1				
Volume Agg % Total (k) : (100-b)l/Gac		85.4			84.8				
VMA % (l) : 100-k		14.5			15.2				
Air Voids % (m) : l-j		1.5			1.1				
VFB % (n) : 100*j/l		87.2			92.8				
STABILITY									
Meas. Lbs	2543	2551	2556	2452	2550	2535			
Adjust Lbs									
Average Stability		2550			2512				
FLOW									
Meas. l/100"	13	14	14	15	15	15			
Average Flow		14			15				

ข้อมูลการทดสอบและวิเคราะห์งานวิศวกรรม กรมทางหลวง Hot mix design data by The Marshall Method

Mix Proportion Hot Bin 1:2:3:4	45.22:17:16	(By Weight)	Pen.Grade	AC 60 - 70									
Avg. Sp.Gr.Agg. And Filler (Gag)	= 2.708		Sp.Gr.Ac. (Gac)	= 1.024									
Consistence, number of blows	= 75	blows	Bitumen Absorption (x)	= 0.25 %									
	30.64M1		40.64M1		50.64M1								
No. of Sample	1	2	3	1	2	3	1	2	3	1	2	3	
% AC by Wgt. Of Agg. (a)		5.00			5.00			5.00			5.00		
% AC by Wgt. Of Mix (b)		4.76			4.76			4.76			4.76		
% Eff. AC by Wgt of Mix (c) : b-(a(100-b)/(100))		4.52			4.52			4.52			4.52		
Spec.Hgt.	in.(d)	1	2	3	1	2	3	1	2	3	1	2	3
DENSITY													
Wt in air	gm. (e)	1254.8	1251.0	1255.0	1254.8	1251.0	1255.0	1254.8	1251.0	1255.0	1254.8	1251.0	1255.0
Wt at surface dry	gm. (f)	1256.5	1252.5	1256.4	1256.5	1252.5	1256.6	1256.5	1252.5	1256.6	1256.5	1252.5	1256.6
Wt in water	gm. (g)	739.7	737.2	739.5	739.7	737.2	739.5	739.7	737.2	739.5	739.7	737.2	739.5
Bulk Volume	ml. (h) : f:g	516.8	515.3	517.1	516.8	515.3	517.1	516.8	515.3	517.1	516.8	515.3	517.1
Bulk Density	gm./ml. (i) : e:h	2.423	2.428	2.427	2.423	2.428	2.427	2.423	2.428	2.427	2.423	2.428	2.427
Average Density		2.428			2.428			2.428			2.428		2.428
VOID ANALYSIS													
Volume AC % Total (j) : e^3/Gac		10.8			10.8			10.8			10.8		10.8
Volume Agg % Total (k) : ((100-h)/Gag)		83.4			85.4			85.4			85.4		85.4
VMA %	(l) : 100-k	14.6			14.6			14.6			14.6		14.6
Air Voids %	(m) : l-j	3.8			3.8			3.8			3.8		3.8
VFB %	(n) : 100^3/j/l	74.0			74.0			74.0			74.0		74.0
STABILITY													
Mean Lbs	2700	2845	2540	2550	2600	2470	2345	2455	2430	2340	2350	2340	
Adjust Lbs													
Average Stability		2695			2540			2410			2343		
FLOW													
Mean I/100^3	9	9	10	10	11	10	9	11	12	12	11	12	
Average Flow		9			10			11			12		

MARSHALL METHOD TEST
ແອລັກຕະກອນເກົດ ຈຳ Wearing Course



สำนักวิเคราะห์และตรวจสอบ

กรมทางหลวง

เจ้าของหัวอ่าน หจก. กิจสินเลิศ

วันที่รับคัวอ่าน 11 ต.ค. 53 วันที่ทดสอบ 12 ต.ค. 53

เจ้าหน้าที่ทดสอบ

Source Hot Bin จาก Plant โรงไม่ Hin ศิลา ยู.ตี อ.ทองแสนชัย จ.อุตรดิตถ์

Sample No of

Abrasion Test of Coarse Aggregate

by Los Angeles Machine

Material	หิน 3/4 "	Norminal size
Grading	B	Number of revolutions
Number of abrasive charges	11	Weight of charges gm.
Sieve size		Accumulative
Passing	Retained on	Weight of sample
3/4"	1/2"	2,500 gm.
1/2"	3/8"	2,500 gm.
Original weight of sample (W1)		5000 gm.
Final weight of sample (W2)		3819 gm.
Loss (W1 -W2)		1181 gm.
Percentage of wear	$\frac{(W1 - W2) \times 100 \%}{W1}$	%

Abrasion Test of Coarse Aggregate

Sand Equivalent Test.

AASHO Designation : 176 - 56

Sample No	Sand Reading	Clay Reading	S.E. = Sand Read x 100 %
			Clay Reading
1	3.4	5.1	67 %
2	3.3	5.3	62 %
Average			65 %

สำนักวิเคราะห์และตรวจสอบ

กรรมทางหลวง

เจ้าของตัวอย่าง หจก. กิจสินเลิศ

วันที่รับตัวอย่าง 11 ต.ค. 53 วันที่ทดสอบ 12 ต.ค. 53

เจ้าหน้าที่ทดสอบ

Source Hot Bin จาก Plant โรงไม่พิม ศิลา ชู.ดี อ.ทองแสงขัน จ.อุตรดิตถ์

Sample No. of

Abrasion Test of Coarse Aggregate

by Los Angeles Machine

Material	หิน 3/4 "	Normal size	
Grading	B	Number of revolutions	
Number of abrasive charges	11	Weight of charges	gm.
Sieve size		Accumulative	
Passing	Retained on	Weight of sample	
3/4"	1/2"	2,500	gm.
1/2"	3/8"	2,500	gm.
Original weight of sample (W1)		5,000	gm.
Final weight of sample (W2)		3,850	gm.
Loss (W1 -W2)		1,150	gm.
Percentage of wear $\frac{(W1 - W2) \times 100 \%}{W1}$		23.0	%

Abrasion Test of Coarse Aggregate

Sand Equivalent Test.

AASHO Designation : 176 - 56

Sample No	Sand Reading	Clay Reading	$S.E. = \frac{\text{Sand Readi} \times 100 \%}{\text{Clay Reading}}$
			Clay Reading
1	3.4	5.1	67 %
2	3.3	5.3	62 %
Average			65 %

สำนักวิเคราะห์และตรวจสอบ

กรมทางหลวง

เจ้าของด้วยชื่อ นางก. กิจสินีเดช

วันที่รับตัวอย่าง 11 ก.ค. 53 วันที่ทดลอง 12 ก.ค. 53

SIEVE ANALYSIS OF AGGREGATE

Material	หินปูน	Sample No	of
Source	Cold Bin by โรงโม่หิน กิจส.พ.อ. กองแผนขั้น อ.ดุรอดีด		

Sieve Sizes	First Trial			Second Trial			Average Passing
	Retained gm.	Passing gm.	Passing %	Retained gm.	Passing gm.	Passing %	
3/8 "	-	-	-	-	-	-	-
# 4	-	1158.2	100.0	-	1152.7	100.0	100.0
# 8	282.3	875.9	75.6	238.8	823.9	71.5	73.6
# 16	326.8	549.1	47.4	272.5	551.4	47.8	47.6
# 30	186.1	363.0	31.3	196.2	355.2	30.8	31.1
# 50	110.1	252.9	21.8	98.4	256.8	22.3	22.1
# 100	52.8	200.1	17.3	65.3	191.5	16.6	17.0
# 200	16.3	183.8	15.9	51.0	140.5	12.2	14.1
Pan	183.8	-	-	140.5	-	-	-

สำนักวิเคราะห์และตรวจสอบ

กรมทางหลวง

เจ้าของท่อส่ง จำก. กิจศิริเมศ

วันที่รับตัวอย่าง 11 ต.ค. 53 วันที่ทดสอบ 12 ต.ค. 53

SIEVE ANALYSIS OF AGGREGATE

Material หิน 3/8 " Sample No. _____
Source Cold Bin by โรงไม่พิม พิเศษ ช.ทองแแกนขัน จ.อุตรดิตถ์

Sieve Sizes	First Trial			Second Trial			Average Passing
	Retained gm.	Passing gm.	Passing %	Retained gm.	Passing gm.	Passing %	
1/2"	-	-	-	-	-	-	-
3/8"	-	1483	100.0	-	1865	100.0	100.0
#4	992	491	33.1	1326	539	28.9	31.0
#8	447	44	3.0	480	59	3.2	3.1
#16	10	34	2.3	5	54	2.9	2.6
Pan	34	-	-	54	-	-	-

สำนักวิเคราะห์และตรวจสอบ

กรมทางหลวง

เจ้าของด้วยช่าง หจก. กิจสินเลิศ

วันที่รับตัวอย่าง 11 ต.ค. 53 วันที่ทดลอง 12 ต.ค. 53

SIEVE ANALYSIS OF AGGREGATE

Material	หิน 1/2 "	Sample No	of
Source	Cold Bin by โรงไฟฟ้า สีดา บูรี อ.ทองแสงขัน จ.อุตรดิตถ์		

Sieve Sizes	First Trial			Second Trial			Average Passing
	Retained gm.	Passing gm.	Passing %	Retained gm.	Passing gm.	Passing %	
1"	-	-	-	-	-	-	-
3/4"	-	2704	100.0	-	2800	100.0	100.0
1/2 "	230	2474	91.5	323	2477	88.5	90.0
3/8"	1860	614	22.7	1875	617	22.0	22.4
#4	610	4	0.1	612	5	0.2	0.1
# 8	1	3	0.1	1	4	0.1	0.1
Pan	3	-	-	4	-	-	-

สำนักวิเคราะห์และตรวจสอบ

กรมทางหลวง

เจ้าของทัวอปปัง จำกัด กิจลีลาภิส

วันที่รับตัวอย่าง 11 ก.ค. 53 วันที่ทดสอบ 12 ก.ค. 53

SIEVE ANALYSIS OF AGGREGATE

Material หิน 3/4 " Sample No. _____
Source Cold Bin by โรงไม่พินศิลป์ อ.ทองแสงขัน ช.อุตรดิตถ์

Sieve Sizes	First Trial			Second Trial			Average Passing
	Retained gm.	Passing gm.	Passing %	Retained gm.	Passing gm.	Passing %	
3/4 "	230	5542	96.0	190	5721	96.8	96.4
1/2 "	5020	522	9.0	5227	494	8.4	8.7
3/8"	376	15	2.5	329	165	2.8	2.7
#4	55	91	1.6	31	134	2.3	1.9
Pan	91	-	-	134	-	-	-

ประวัติผู้ดำเนินโครงการ

ชื่อ นายณรงค์ฤทธิ์ พันธ์ภู่
ภูมิลำเนา 161 หมู่ 4 ต.ท่าทอง อ.เมือง จ.พิษณุโลก 65000
ประวัติการศึกษา - จบระดับมัธยมศึกษาจากโรงเรียนพิษณุโลกพิทยาคม
- ปัจจุบันกำลังศึกษาในระดับปริญญาตรีชั้นปีที่ 4 สาขา วิศวกรรมโยธา
คณะวิศวกรรมศาสตร์มหาวิทยาลัยนเรศวร

ชื่อ นางสาวปริyanุช ใหม่เจันทร์
ภูมิลำเนา 5 หมู่ 13 ต.ศรีมะเกน อ.นาน้อย จ.น่าน 55150
ประวัติการศึกษา - จบระดับมัธยมศึกษาจากโรงเรียนสตรีคริน่า
- ปัจจุบันกำลังศึกษาในระดับปริญญาตรีชั้นปีที่ 4 สาขา วิศวกรรมโยธา
คณะวิศวกรรมศาสตร์มหาวิทยาลัยนเรศวร

ชื่อ นายกัทร ใจดี อยู่สุข
ภูมิลำเนา 69/23 ถ.รักการดี ต.อุทัยใหม่ อ.เมือง จ.อุทัยธานี 61000
ประวัติการศึกษา - จบระดับมัธยมศึกษาจากโรงเรียนอุทัยวิทยาคม
- ปัจจุบันกำลังศึกษาในระดับปริญญาตรีชั้นปีที่ 4 สาขา วิศวกรรมโยธา
คณะวิศวกรรมศาสตร์มหาวิทยาลัยนเรศวร